

# Численный подход к исследованию растекающихся слоёв аккрецирующих нейтронных звёзд

Русаков А.С., СПбГУ, кафедра астрофизики

Аболмасов П.К., Tel Aviv University, Raymond & Beverly Sackler School of  
Physics and Astronomy

28.01.2025

[arXiv:2412.00867](https://arxiv.org/abs/2412.00867)



# Содержание

01

## Постановка задачи

Растекающийся и пограничный слои. Физика. Предыдущие работы.

03

## Тесты

Модельные задачи. Тесты. Аккреция. Кривые блеска.

02

## Численная схема

Выбор сетки. Адаптация MUSCL схемы на сферу. Решение задачи Римана.

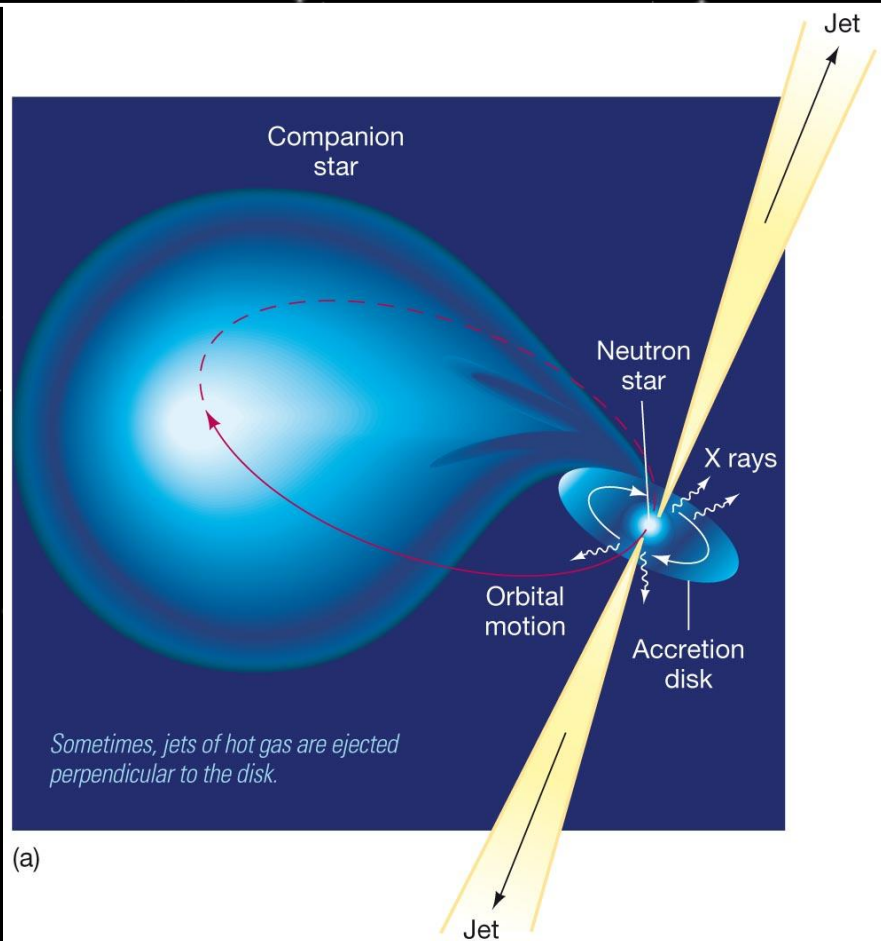
04

## Заключение

Планы на будущее, перспективные задачи.

# 01 Постановка задачи

Нейтронные звёзды. Аккреционные диски.  
Растекающийся слой. LMXB.



(a)

# Нейтронные звёзды и аккреционные диски.

Маломассивные рентген двойные с нейтронными звёздами:

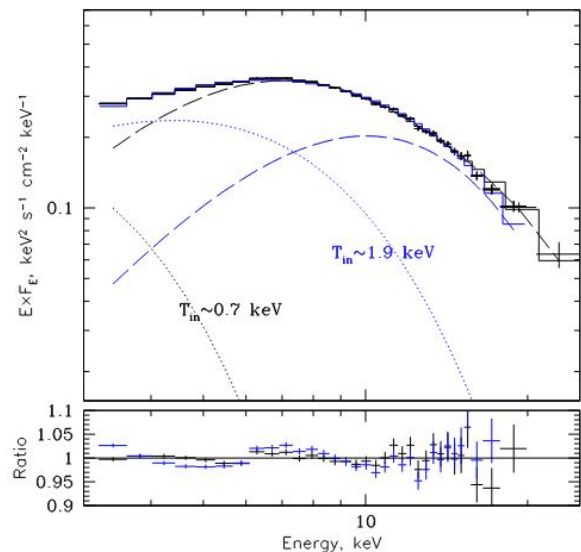
- Рентгеновские пульсары
- Миллисекундные пульсары
- Барстеры
- Z-type sources
- Atoll type sources

Источник излучения – аккреционный диск.

Очень тесные системы с обменом массой.

Характеризуются высокой светимостью в рентгеновском диапазоне.

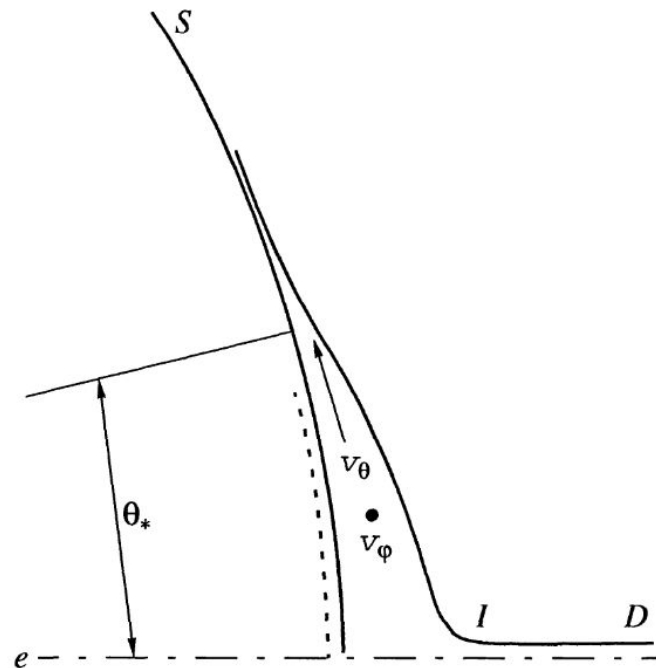
Нам интересны системы со слабыми магнитными полями ( $< 10^8$  G).



**Figure 1.** Example of decomposition of a typical spectrum of the NS binary in the soft state into the accretion disc and the BL components. In two cases we assumed two different shapes of the BL emission component. In the first case (shown by blue curves), we took the BL component as a single temperature black body with  $kT_{\text{bb}} = 2.6$  keV. In the second case (shown by black curves), the BL component was approximated by a sum of two black bodies with temperatures of 1.6 and 3.1 keV. The dashed curves show the assumed contribution of the BL, and the dotted curves are the contribution of the accretion disc (model DISKBB) with the inner disc temperature  $kT_{\text{in}} = 1.9$  and 0.7 keV, for the two cases, respectively. It can be seen that in spite of quite similar quality of fits (data/model ratios are within  $\sim 2\%$ ), the resulting spectral decomposition is drastically different.

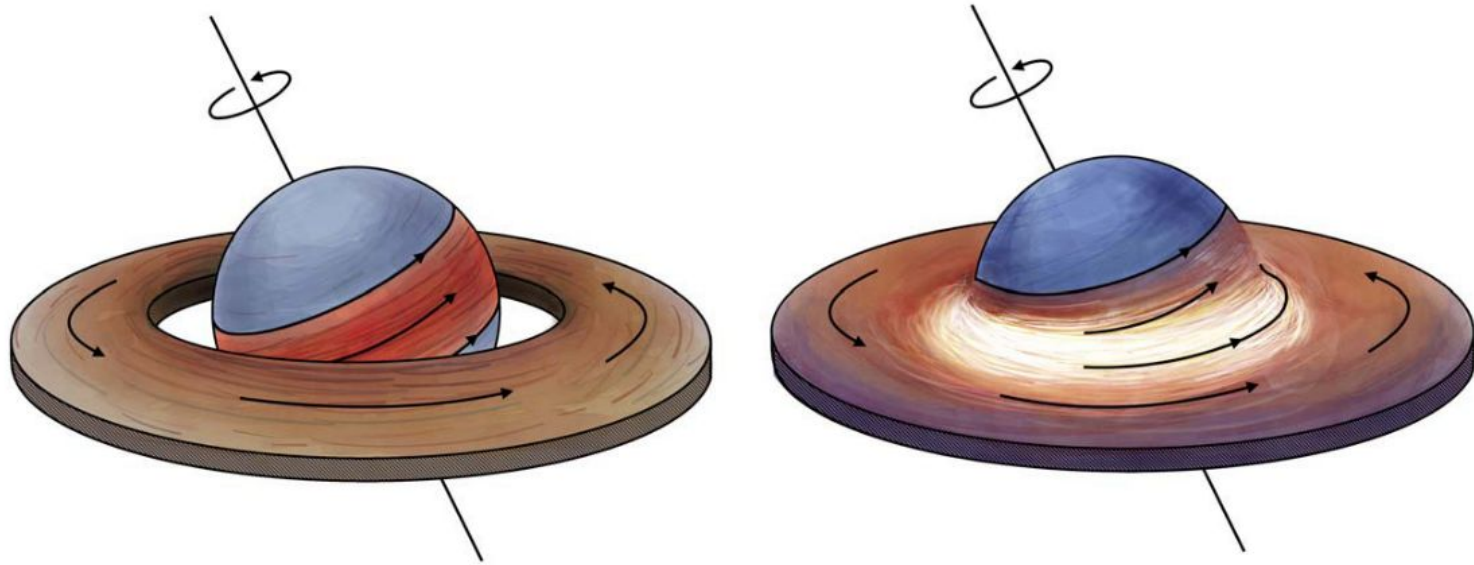
# Растекающийся слой нейтронной звезды

- Возникает в нейтронных звёздах с относительно слабым магнитным полем.
- Контакт аккреционного диска и поверхности нейтронной звезды.
- Ударная волна в радиальном направлении, затем растекание вещества по поверхности нейтронной звезды.
- Слой очень тонкий.
- Дополнительный источник углового момента.
- Растекание не обязательно симметричное.



**Fig. 4.** Spread of the rotating plasma from the disk  $D$  over the neutron-star surface  $S$ . Here,  $I$  is the intermediate zone near the disk neck,  $0 < \theta < \theta_*$  is the hot belt, and  $\theta > \theta_*$  is the cold part of the spread layer. The rotation velocity  $v_\phi$  (filled circle) is directed along the normal to the plane of the figure. The slowly circulating (in  $\phi$  and  $\theta$ ) dense underlying layers of matter beneath the spread layer are indicated by the dashes.

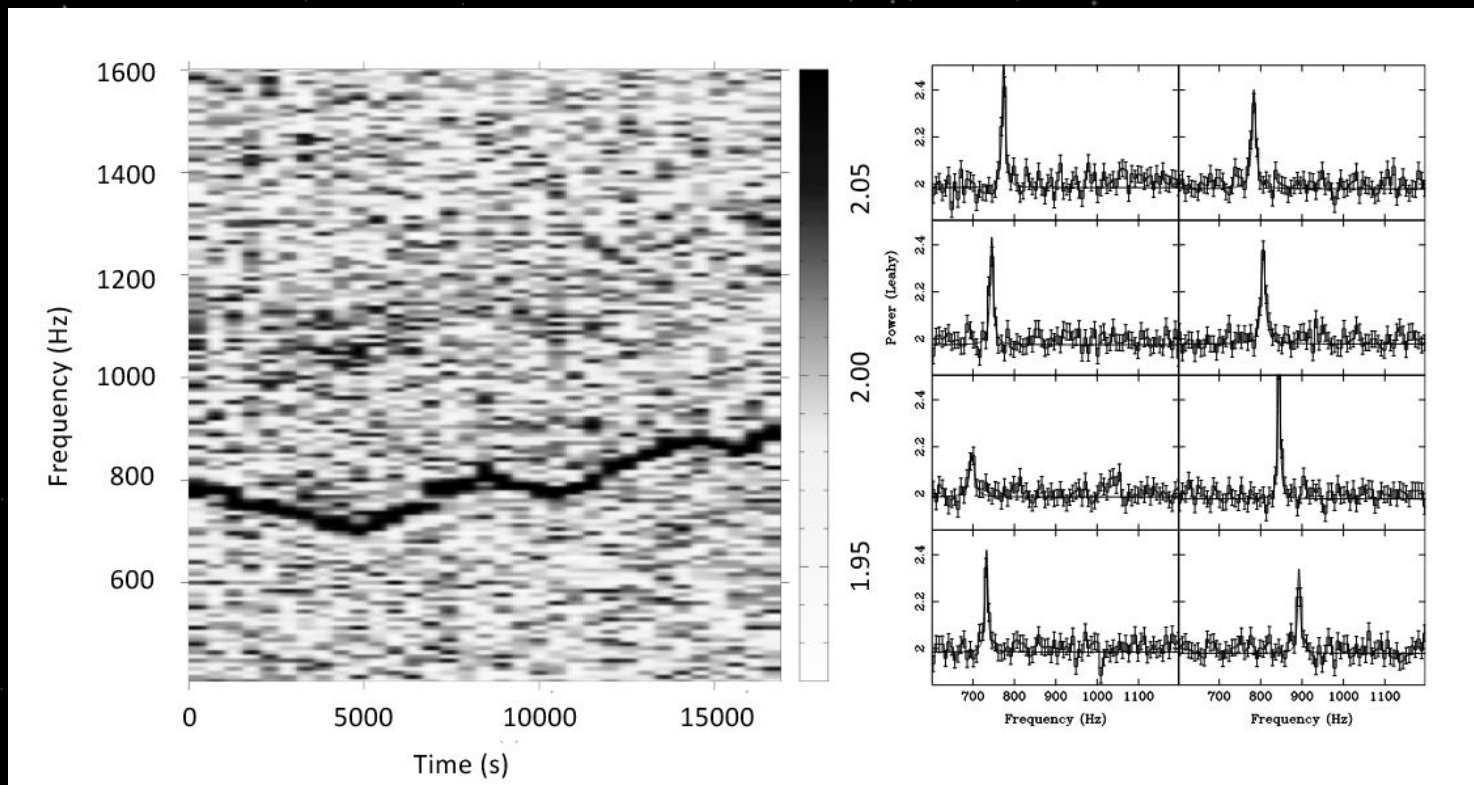
# Пример отсутствия соосности диска и звезды.



**Figure 6.** Illustration of a possible accretion geometry in Cir X-1. (Left) Low accretion rate case, when there is a gap between the disk and the NS surface, and the full SL is developed. (Right) High accretion rate case, where the disk touches the NS surface, and the BL is emitting (with a PA almost perpendicular to the symmetry axis of the disk).

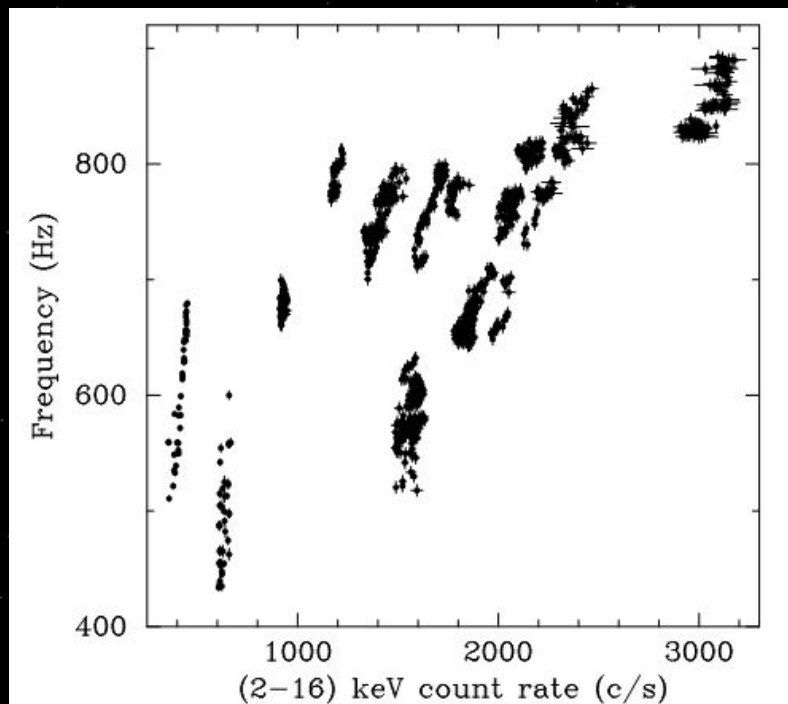
(Rankin et al., 2023)

# QPO



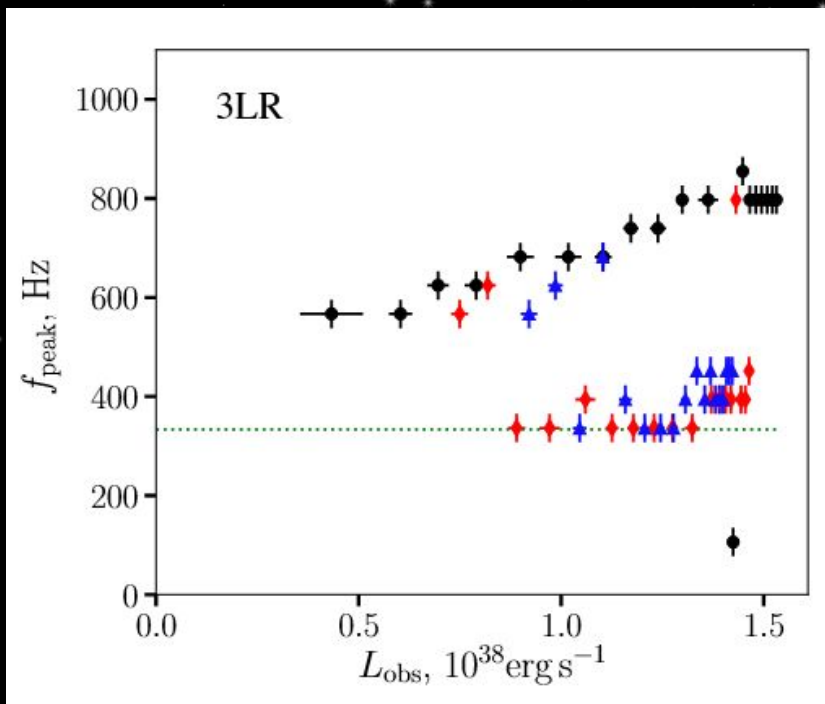
Динамический спектр мощности 4U 1728–34 и несколько отдельных спектров мощности с интервалом в 2000 секунд.

# Параллельные треки



Наблюдения 4U 1608-52

(van der Klis, 2001)

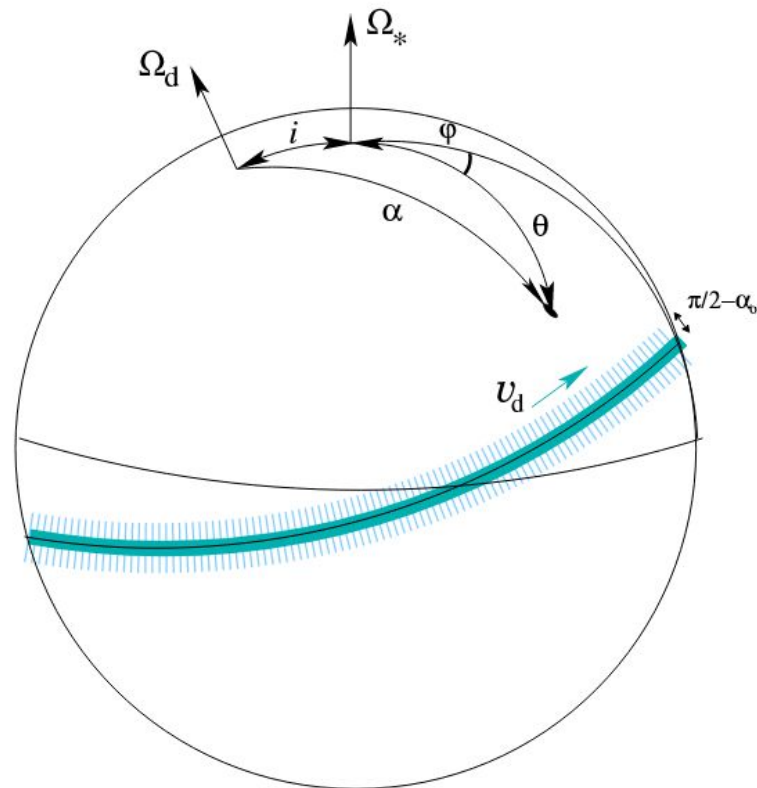


Численная симуляция слоя растекания

(Abolmasov, Nättilä and Poutanen, 2020)

## Работы по теме и отличие нашего подхода

- Одномерные модели: (Suleimanov and Poutanen, 2006)
- Пограничный слой диска в 2д без растекания (Phillipov, Rafikov, Stone)
- Сферическая модель растекания: (Abolmasov, Nättilä and Poutanen, 2020).
- Спектральный код со сферическими гармониками.
- Значимая проблема: поток вещества на поверхности сверхзвуковой.
- При использовании стандартных сеток метода конечных объемов проблемы на полюсах.
- Наша идея: MUSCL схема 2-го порядка с приближённым решением задачи Римана на произвольной сетке.



**Fig. 1.** Illustration of the model geometry. The tilted blue arc near the equator shows the source of mass and momentum. The spin axis of the star, marked with  $\Omega_*$ , is inclined with respect to the disc axis ( $\Omega_d$ ), by an angle  $i$ .

# 02

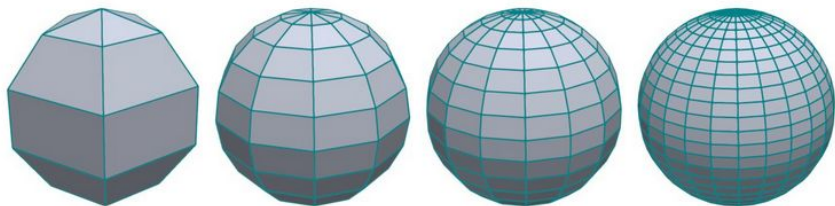
# Численный алгоритм

Выбор сферической сетки и адаптация схемы на неё. Система уравнений. Законы сохранения.

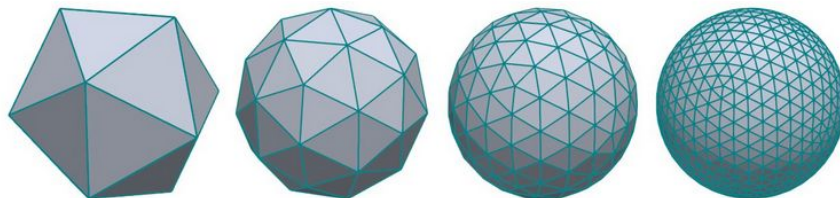


# Возможные сетки

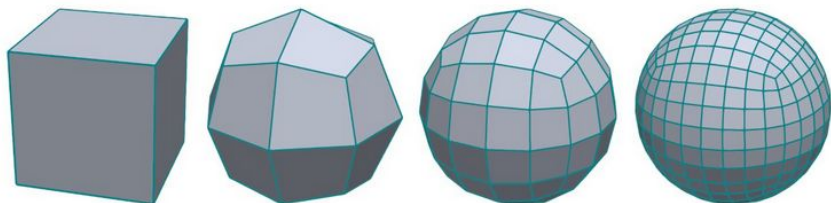
The UV Sphere



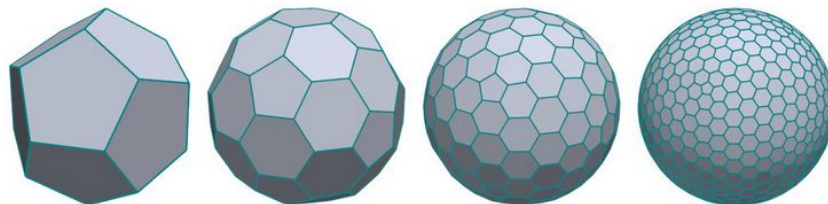
The Icosphere



The Quad Sphere



Goldberg Polyhedra



(Sieger, 2021)

# MUSCL схема для произвольной сетки на плоскости:

Цель: адаптировать схему для произвольных сеток с плоскости на сферу.

$$\partial_t u(\mathbf{x}, t) + \nabla \mathbf{F}(\mathbf{x}, t) = 0 \quad u(\mathbf{x}, t = 0) = u_0(\mathbf{x})$$

Разделим область определения  $\Omega$  на многоугольники  $K_i$  с произвольным числом рёбер.

Пусть  $\nu(i)$  – множество соседних элементов к ячейке  $K_i$  которые граничат с ней общим ребром.

Пусть  $U_i^n$  – значение сохраняющейся переменной в момент  $t_n$  в ячейке  $K_i$ , тогда схему можно записать как:

$$U_i^{n+1} = U_i^n - \Delta t \sum_{\nu(i)} \frac{S_{ij}}{K_i} \phi(U_{ij}^n, U_{ji}^n).$$

Тут  $S_{ij}$  – длина ребра.  $K_i$  – площадь ячейки.  $\phi$  – Приближённая функция решения задачи Римана.

$U_{ij}^n$  – интерполированные значения переменной на ребре.

(C. Le Touze, A. Murrone and Guillard, 2015)

# Интерполяция на ребро

$$U_{ij} = p_{ij}^+ \varphi(r_{ij}, G_{ij}) |B_i M_{ij}| + U_i$$

$$p_{ij}^+ = \frac{U_{H_{ij}^+} - U_i}{|B_i H_{ij}^+|}$$

$$p_{ij}^- = \frac{U_i - U_{H_{ij}^-}}{|B_i H_{ij}^-|}$$

$$r_{ij} = p_{ij}^- / p_{ij}^+$$

$G_{ij}$  – Геометрические параметры.

$\varphi(r_{ij}, G_{ij})$  – Функция-ограничитель.

2 порядок ошибки интерполированных значений.

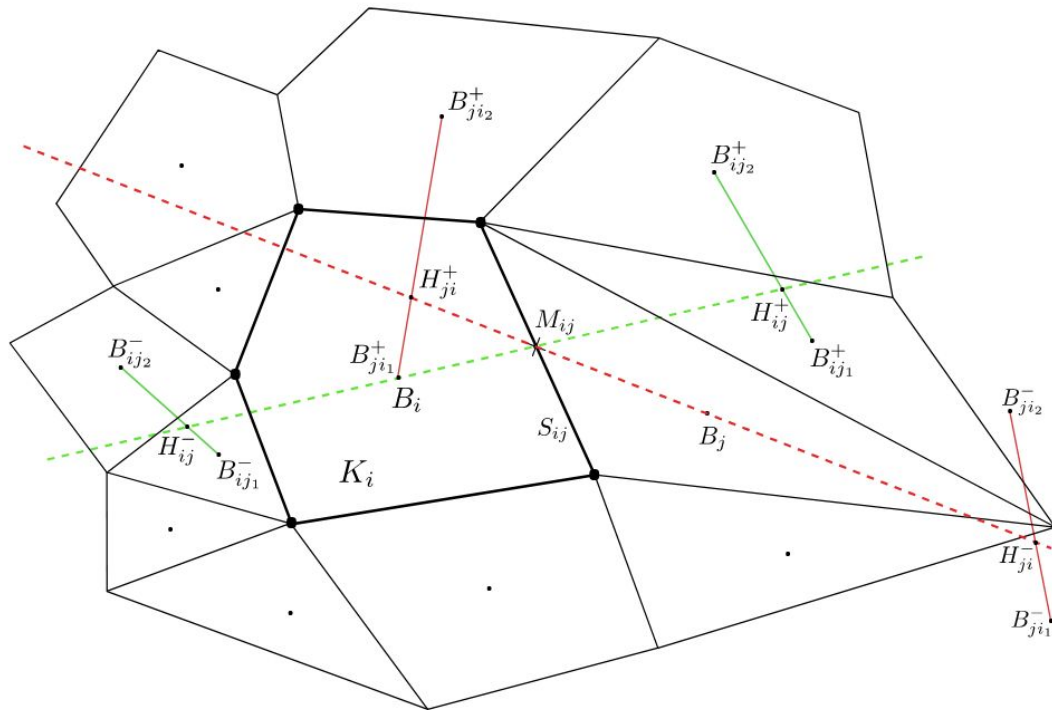


Figure 1: Forward and backward points  $H_{ij}^+$  and  $H_{ij}^-$  in the 2D configuration.

(C. Le Touze, A. Murrone and Guillard, 2015)

# Функция ограничитель

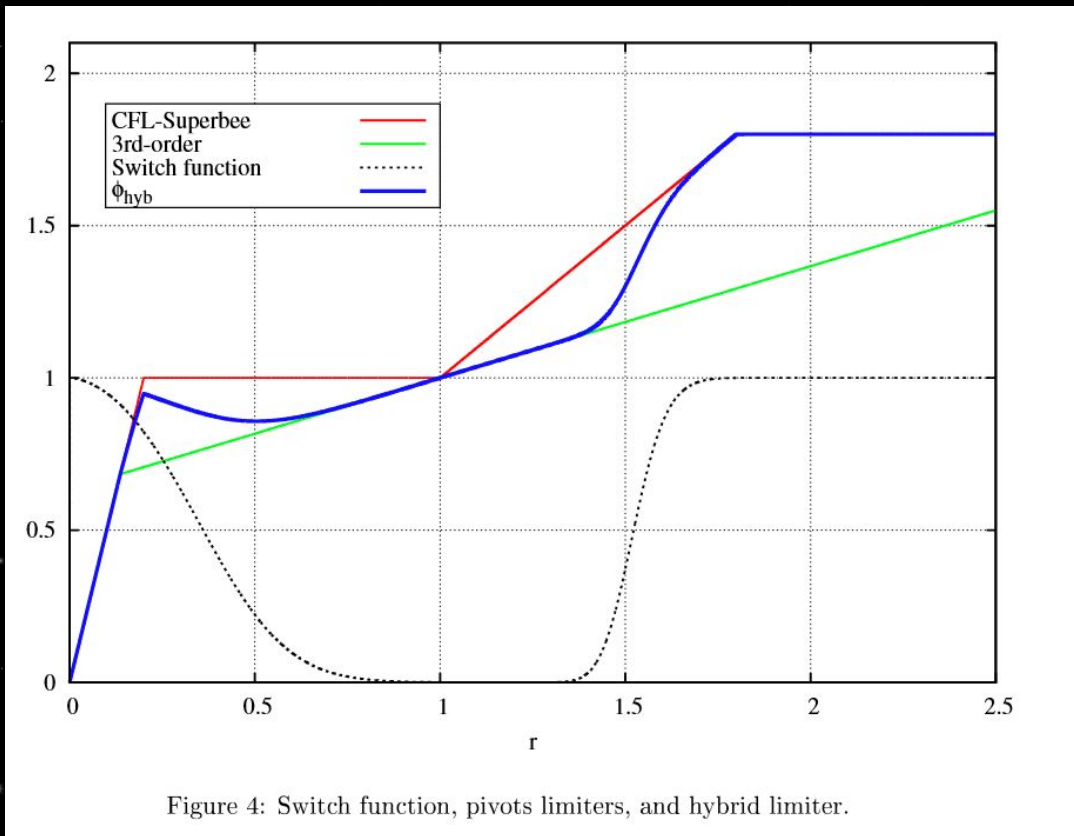


Figure 4: Switch function, pivots limiters, and hybrid limiter.

# Приближённое решение задачи Римана

HLLC+: HLLC solver с поправками для устранения неустойчивости на низких скоростях и ударных неустойчивостей при больших числах Маха.

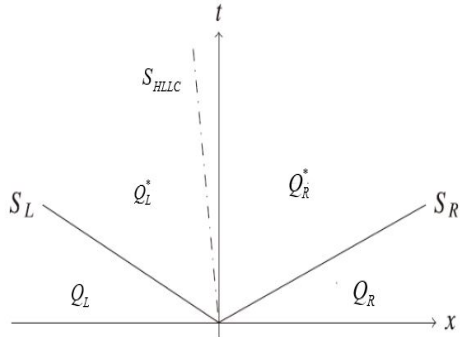


FIG. 1. Sketch of the Riemann wave structure of the HLLC approximative Riemann solver [30].

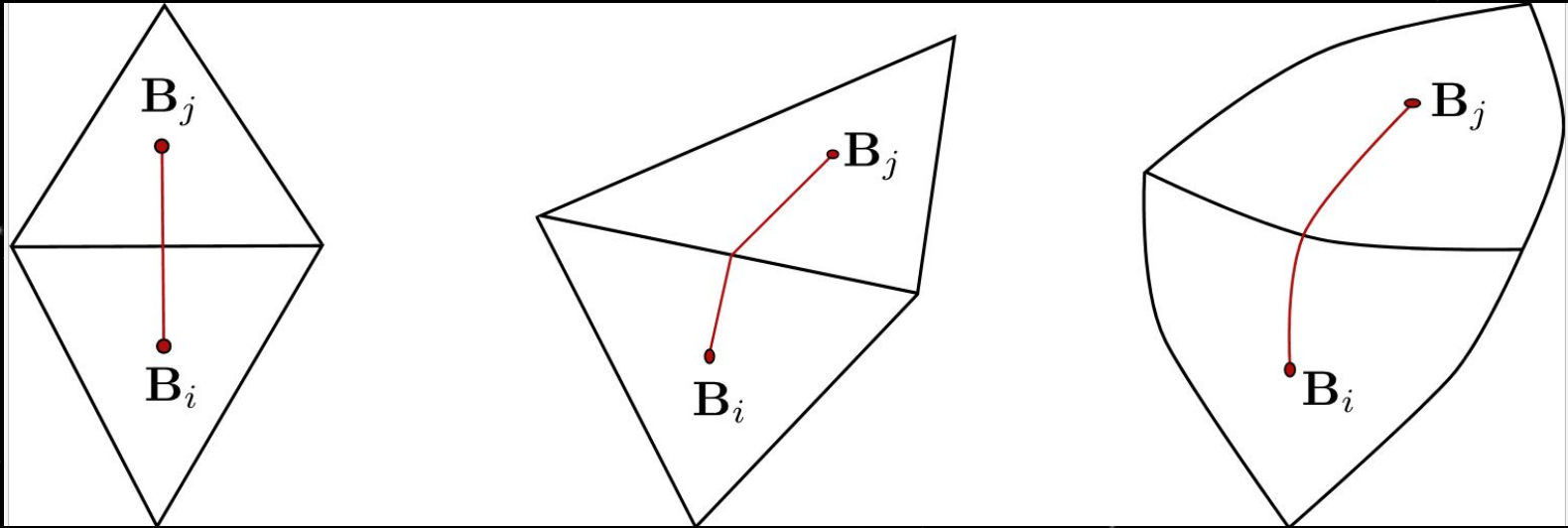
$$(A.4) \quad F_{1/2}^{\text{HLLC}+} = \begin{cases} F_L & \text{if } 0 \leq S_L, \\ F_L^{*\text{HLLC}+} & \text{if } S_L < 0 \leq S_{\text{HLLC}}, \\ F_R^{*\text{HLLC}+} & \text{if } S_{\text{HLLC}} < 0 \leq S_R, \\ F_R & \text{if } 0 > S_R, \end{cases}$$

where  $F_K$  uses (A.3) and  $F_K^{*\text{HLLC}+}$  is given by

$$(A.5) \quad F_K^{*\text{HLLC}+} = \frac{S_{\text{HLLC}}(S_K Q_K - F_K) + S_K P_{\text{HLLC}} D}{S_K - S_{\text{HLLC}}} + \frac{\varphi_L \varphi_R}{\varphi_R - \varphi_L} \begin{bmatrix} 0 \\ (f^* - 1) \Delta U \cdot n_x + \frac{S_K}{S_K - S_{\text{HLLC}}} g(\Delta u - \Delta U \cdot n_x) \\ (f^* - 1) \Delta U \cdot n_y + \frac{S_K}{S_K - S_{\text{HLLC}}} g(\Delta v - \Delta U \cdot n_y) \\ (f^* - 1) \Delta U \cdot n_z + \frac{S_K}{S_K - S_{\text{HLLC}}} g(\Delta w - \Delta U \cdot n_z) \\ (f^* - 1) \Delta U \cdot S_{\text{HLLC}} \end{bmatrix}$$

(Chen et al., 2020)

# Применение схемы на сфере



Основные отличия: нормали, длины и площади ячеек.  
Прямые на плоскости = ломаные или дуги на сфере.

# Уравнения газодинамики

$$\partial_t u(\mathbf{x}, t) + \nabla \mathbf{F}(\mathbf{x}, t) = S(\mathbf{x}, t)$$

$$\mathbf{r} \times \mathbf{l} = m \left( (\mathbf{r} \cdot \mathbf{v}) - \mathbf{v} |\mathbf{r}|^2 \right) \quad \mathbf{v} = -\frac{\mathbf{r} \times \mathbf{l}}{m |\mathbf{r}|^2}$$

$$\Sigma = \int \rho dh$$

$$\mathbf{l} = \int \rho(\mathbf{r} \times \mathbf{v}) dh$$

$$E = \int \left( e + \frac{v^2}{2} \rho + \Phi \rho \right) dh$$

Isothermal:  $u = \begin{pmatrix} \Sigma \\ \mathbf{l} \end{pmatrix}$

$$\mathbf{F} = \begin{pmatrix} \Sigma(\mathbf{n} \cdot \mathbf{v}) \\ \mathbf{l}(\mathbf{n} \cdot \mathbf{v}) - (\mathbf{n} \times \mathbf{R})\Pi \end{pmatrix}$$

$$\Pi = a^2 \Sigma$$

Adiabatic:

$$u = \begin{pmatrix} \Sigma \\ \mathbf{l} \\ \Sigma \cdot e \end{pmatrix}$$

$$\mathbf{F} = \begin{pmatrix} \Sigma(\mathbf{n} \cdot \mathbf{v}) \\ \mathbf{l}(\mathbf{n} \cdot \mathbf{v}) - (\mathbf{n} \times \mathbf{R})\Pi \\ (\Sigma \cdot e + \Pi)(\mathbf{n} \cdot \mathbf{v}) \end{pmatrix}$$

$$e = \frac{v^2}{2} + \frac{\Pi}{(\Gamma - 1)\Sigma}$$



# 03

# Тесты

Результаты численных экспериментов.

# Адиабатическое решение с постоянной энтропией

If globally  $P = P_0 (\rho/\rho_0)^\gamma$ ,

$$\rho = \rho_0 \left[ 1 + \frac{\gamma - 1}{2} M_0^2 \sin^2 \theta \right]^{\frac{1}{\gamma - 1}},$$

$$P = P_0 \left[ 1 + \frac{\gamma - 1}{2} M_0^2 \sin^2 \theta \right]^{\frac{\gamma}{\gamma - 1}},$$

where the index '0' corresponds to the poles, and  $M_0 = \frac{\Omega R}{a_0}$ ,  $a_0 = \sqrt{\frac{\gamma P_0}{\rho_0}}$ .

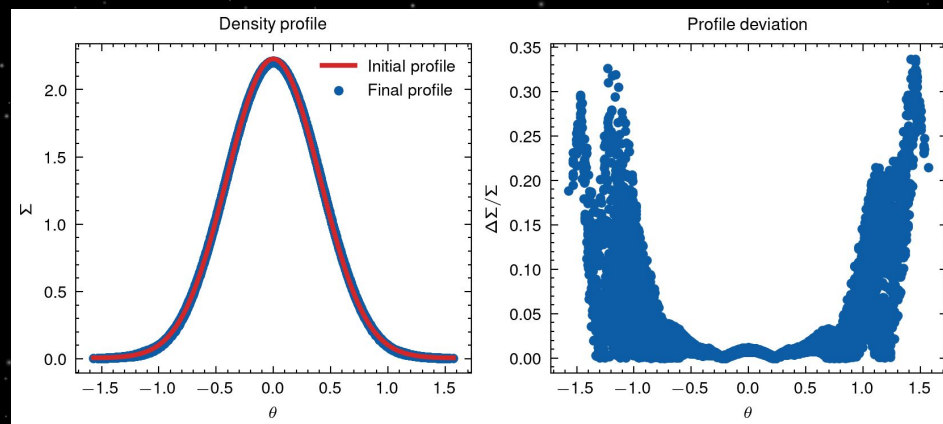
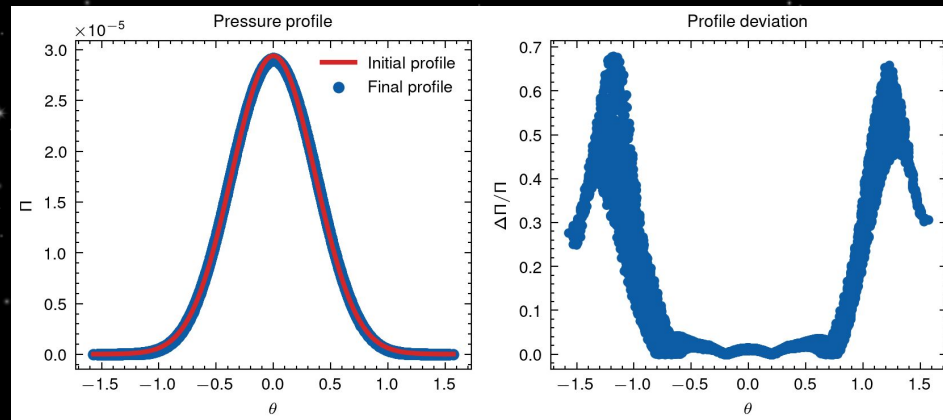
# Сохранение аналитических профилей.

10 оборотов, среднее число

Маха = 2.5.

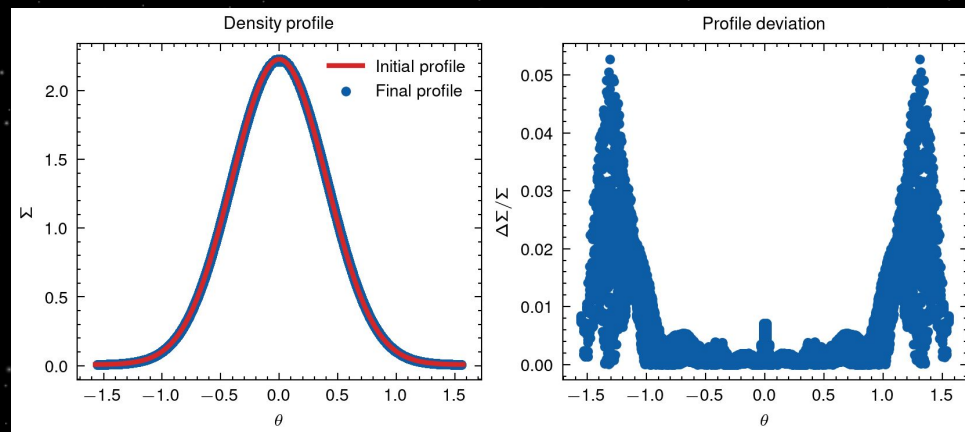
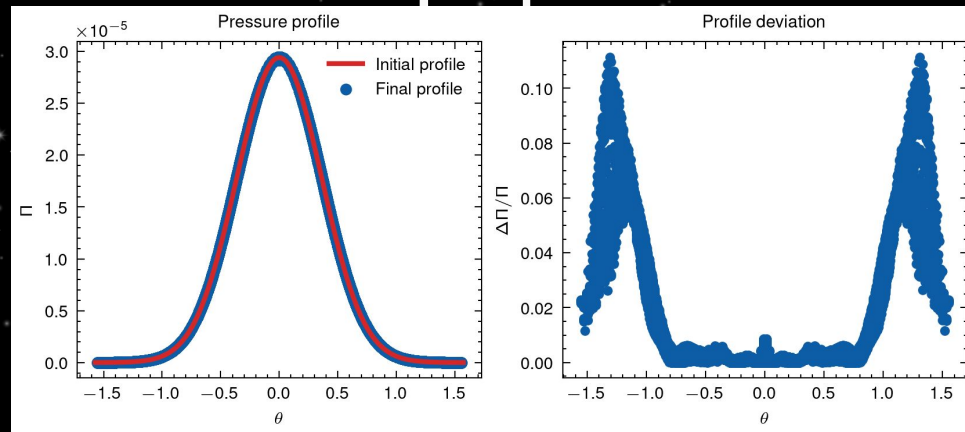
Сетка гексагональная: 10242

границы.



# Сохранение аналитических профилей.

10 оборотов, среднее число  
Маха = 2.5.  
Сетка квадратичная: 24576  
граней.



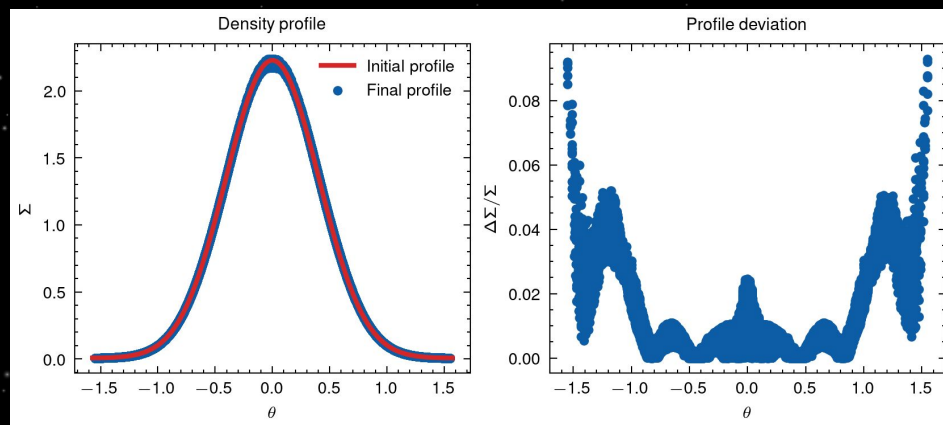
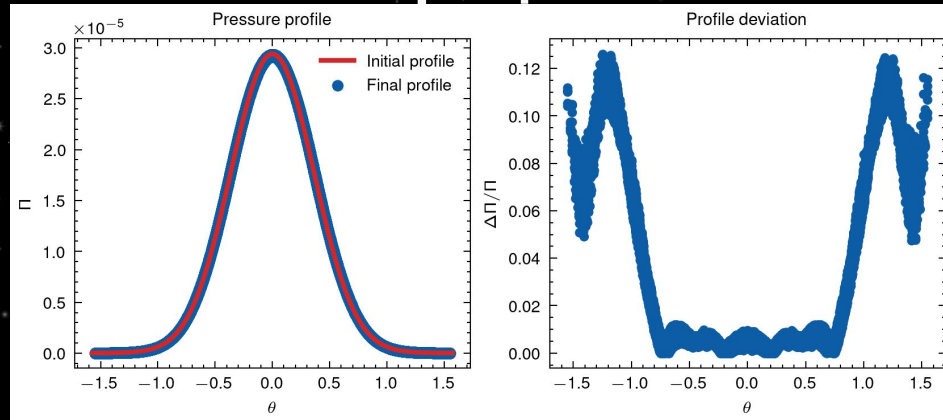
# Сохранение аналитических профилей.

10 оборотов, среднее число

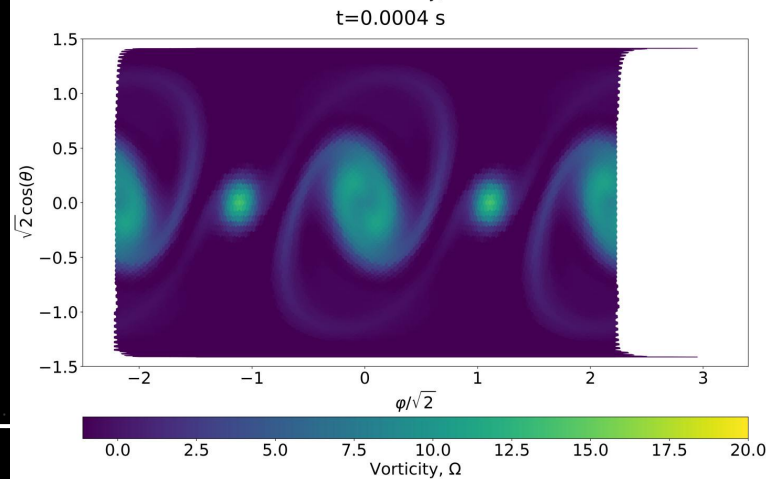
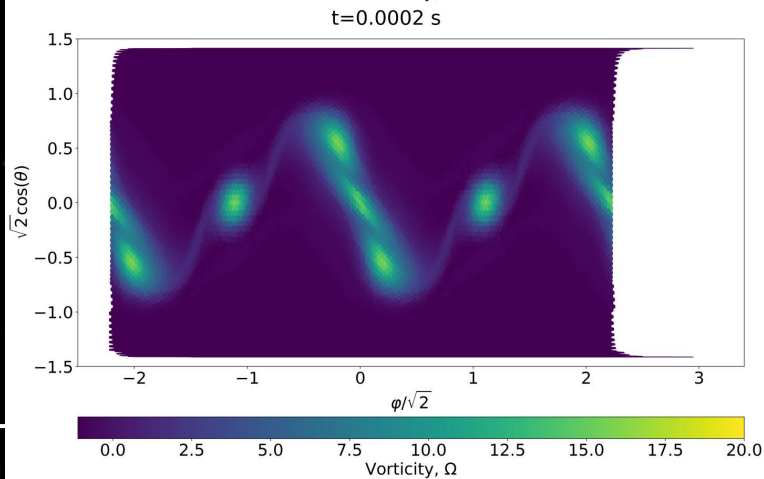
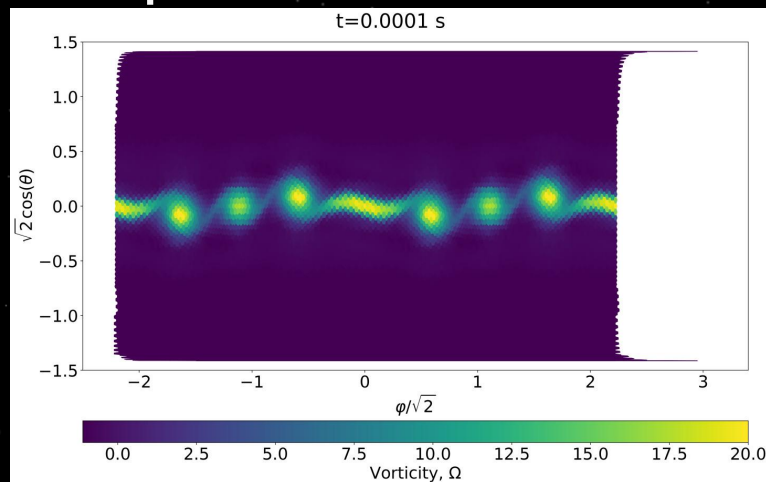
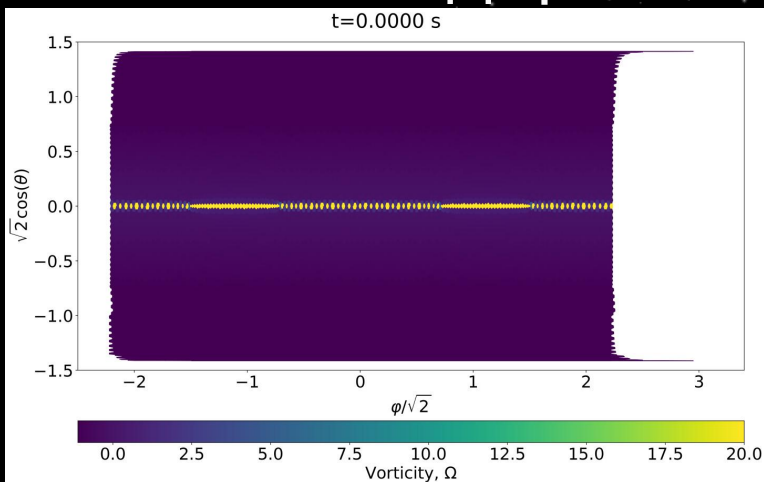
Маха = 2.5.

Сетка икосаэдральная:

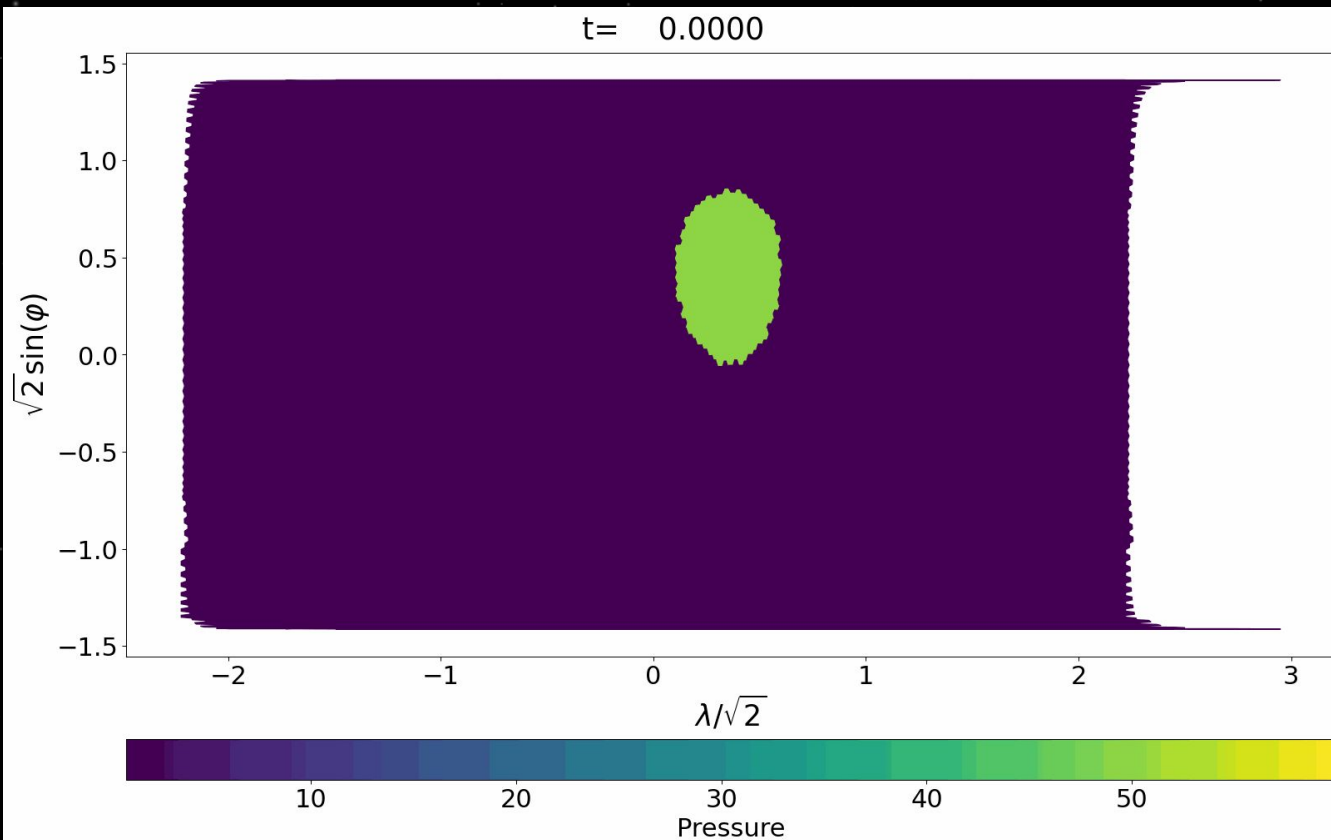
20480 граней.



# Дифференциальное вращение



# Распространение ударной волны



# Аккреционные тесты. Источники без трения.

Дополнительные источники/стоки:  
аккреция, выпадение вещества на  
поверхность, радиационные потери.

$$\begin{cases} \dot{\Sigma} = \dot{\Sigma}_{\text{acc}} + \dot{\Sigma}_{\text{fall}}, \\ \dot{\mathbf{i}} = \dot{\mathbf{i}}_{\text{acc}} + \dot{\mathbf{i}}_{\text{fall}}, \\ \dot{E} = \dot{E}_{\text{acc}} + \dot{E}_{\text{fall}} + \dot{E}_{\text{rad}} \end{cases}$$

$$g_{\text{eff}} = -\frac{GM}{R} + \frac{v_{\theta}^2 + v_{\varphi}^2}{2}$$

$$\frac{\beta}{(1-\beta)^{1/4}(1-\beta/2)} = \frac{12}{5} \frac{k}{m} \left( \frac{3}{4} \frac{c}{\sigma_{\text{SB}}} g_{\text{eff}} \Sigma \right)^{1/4} \frac{\Sigma}{E}$$

$$\frac{\beta}{(1-\beta)^{1/4}(1-\beta/2)} \approx \begin{cases} -1 - \frac{1}{\beta-1} & \beta \leq \beta_{\text{switch}} \\ \frac{2}{\sqrt[4]{1-\beta}} & \beta > \beta_{\text{switch}} \end{cases}$$

$$\dot{\mathbf{i}}_{\text{acc}} = \dot{\Sigma}_{\text{acc}} (\mathbf{r} \times \mathbf{v}_{\text{orb}})$$

$$\dot{E}_{\text{acc}} = \dot{\Sigma}_{\text{acc}} \left( \left( \frac{E}{\Sigma} \right)_d + \frac{1}{2} (\mathbf{v}_{\text{orb}} - \mathbf{v})^2 \right)$$

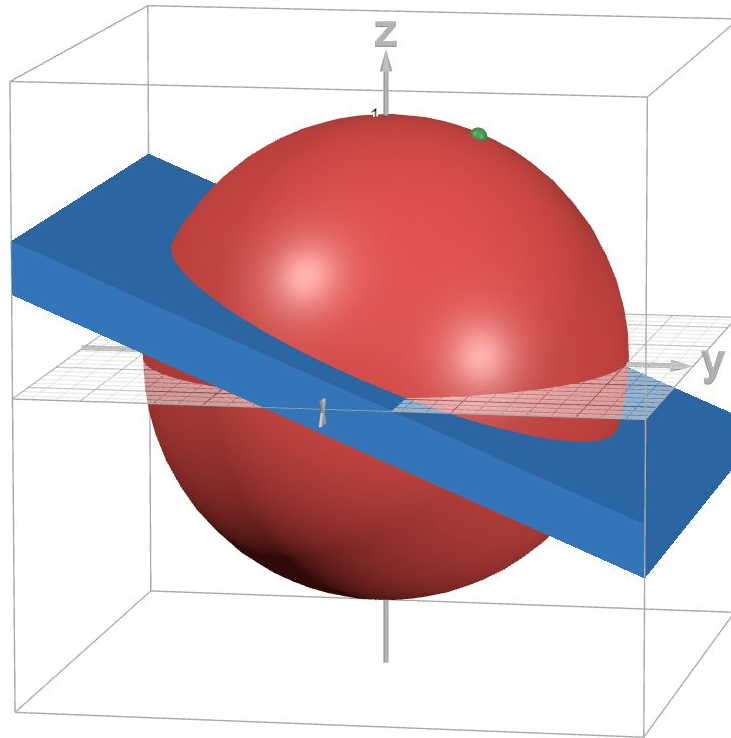
$$\dot{\Sigma}_{\text{fall}} = -C_{\text{fall}} \Sigma$$

$$\dot{\mathbf{i}}_{\text{fall}} = \frac{1}{\Sigma} \dot{\Sigma}_{\text{fall}}$$

$$\dot{E}_{\text{fall}} = \dot{\Sigma}_{\text{fall}} \left( \frac{v^2}{2} + \frac{\Gamma}{\Gamma-1} \frac{\Pi}{\Sigma} \right)$$

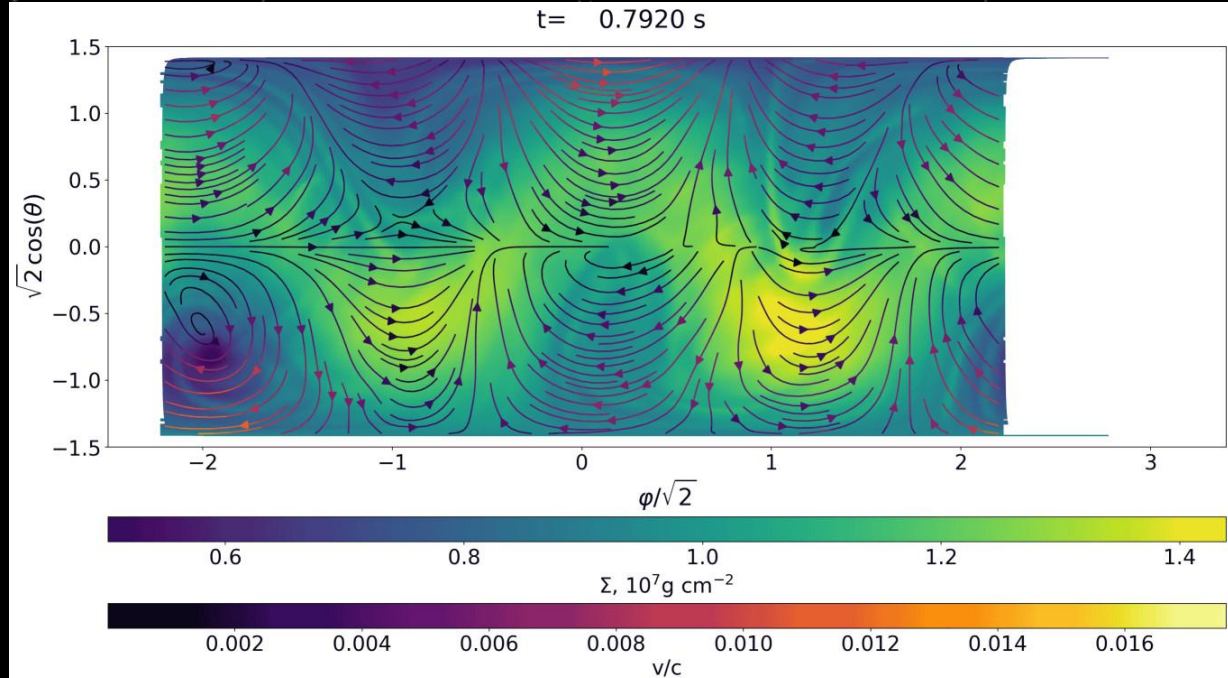
$$\dot{E}_{\text{rad}} = -\frac{c g_{\text{eff}}}{\kappa} (1-\beta)$$

# Геометрия аккреции

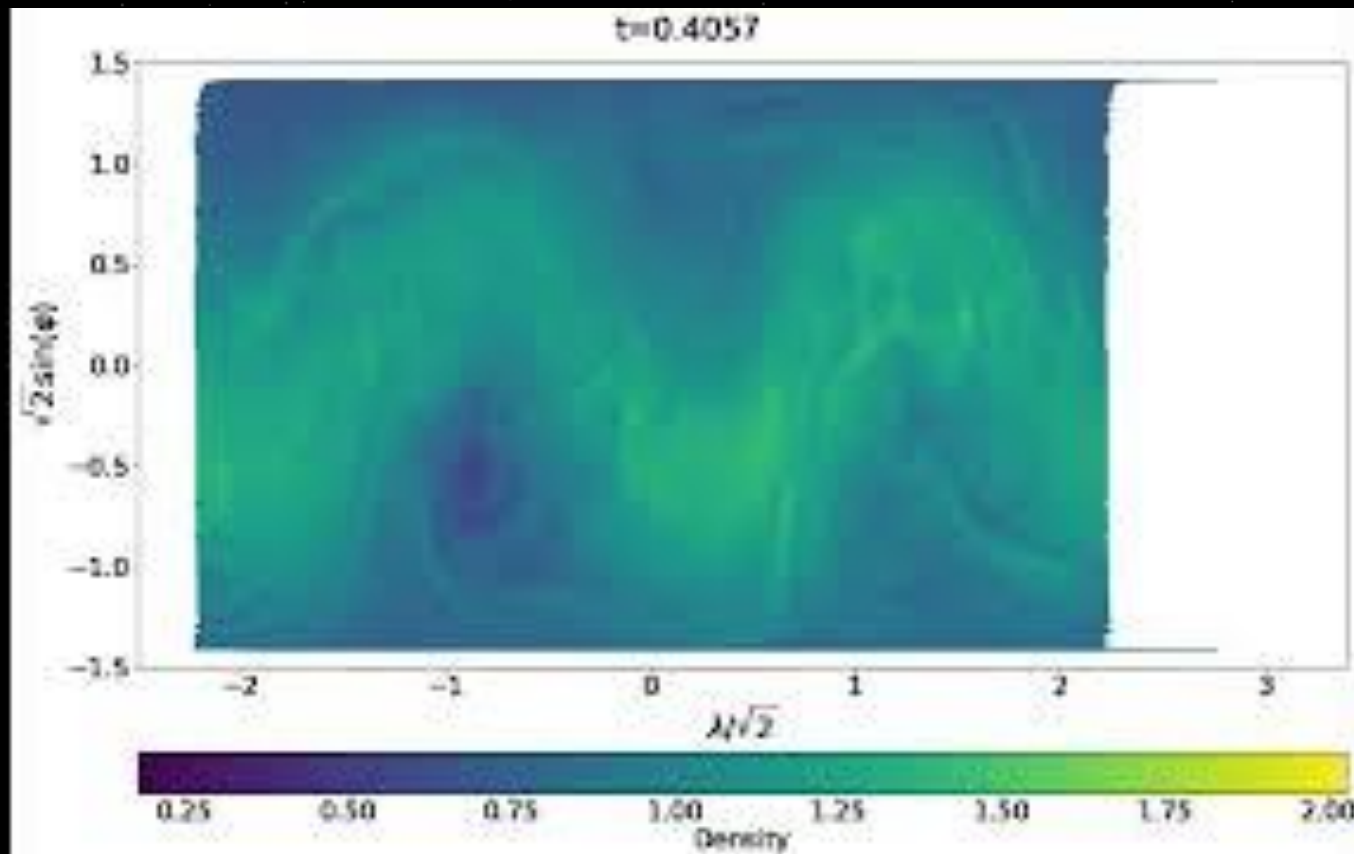


# Аккреционный тест

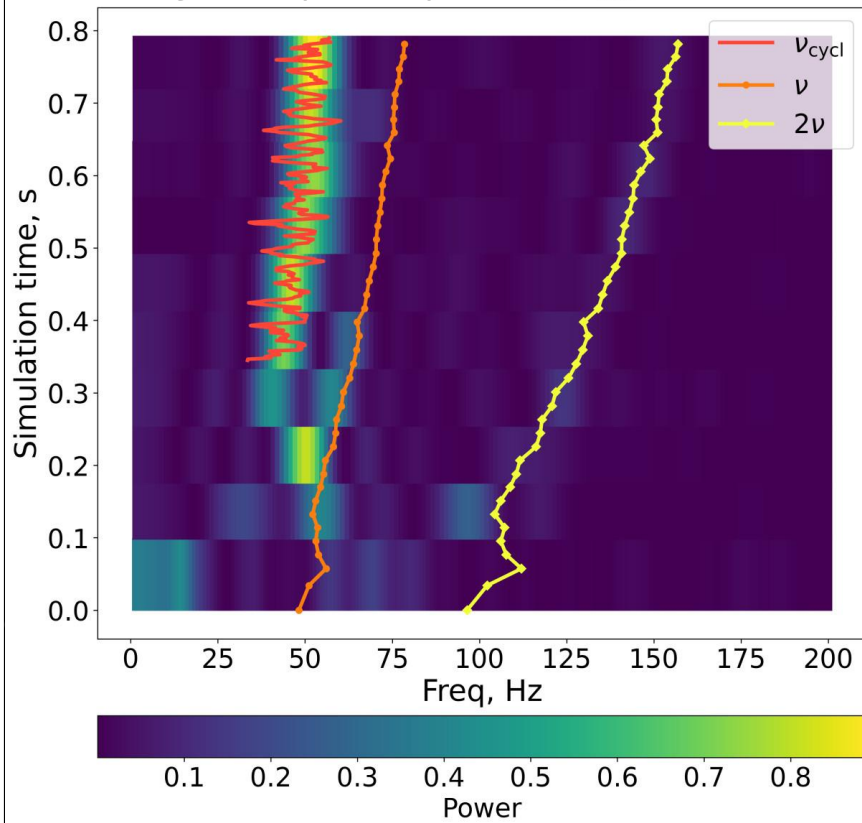
- $\gamma = 4/3$
- $\Gamma = 2 - 1/\gamma = 5/4$
- $R = 10\text{km}$
- $V_{eq} = 0.01c$
- $\Sigma_0 = 10^7\text{g/cm}^2$
- $t_{spin} = 0.02s$
- $c_s = 2 \cdot 10^{-3}c$
- $dM/dt = 10^{-8}M_{\odot}/\text{yr}$
- $V_{orb} = 0.4c$



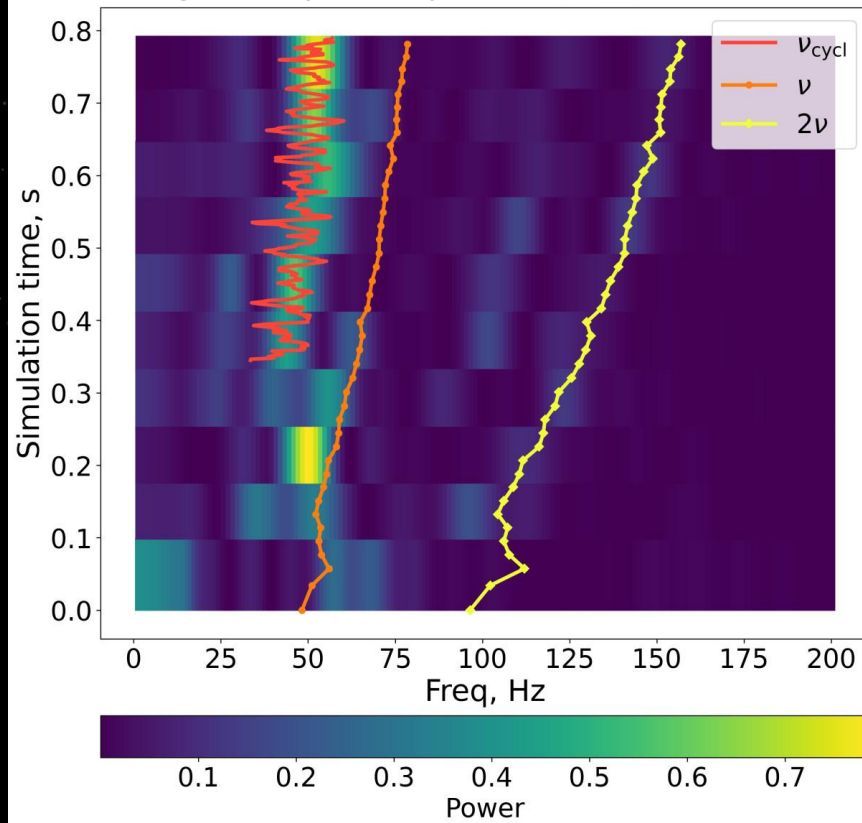
# Полная симуляция. Гладкий источник



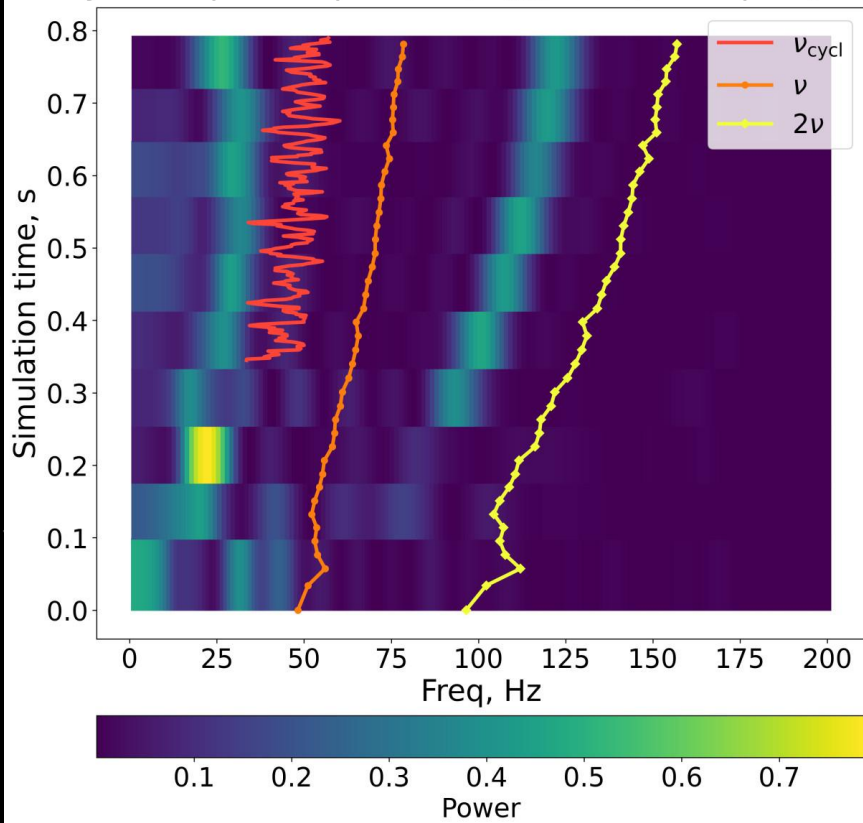
Dynamic power spectrum,  $\theta_{\text{obs}} = 90^\circ$



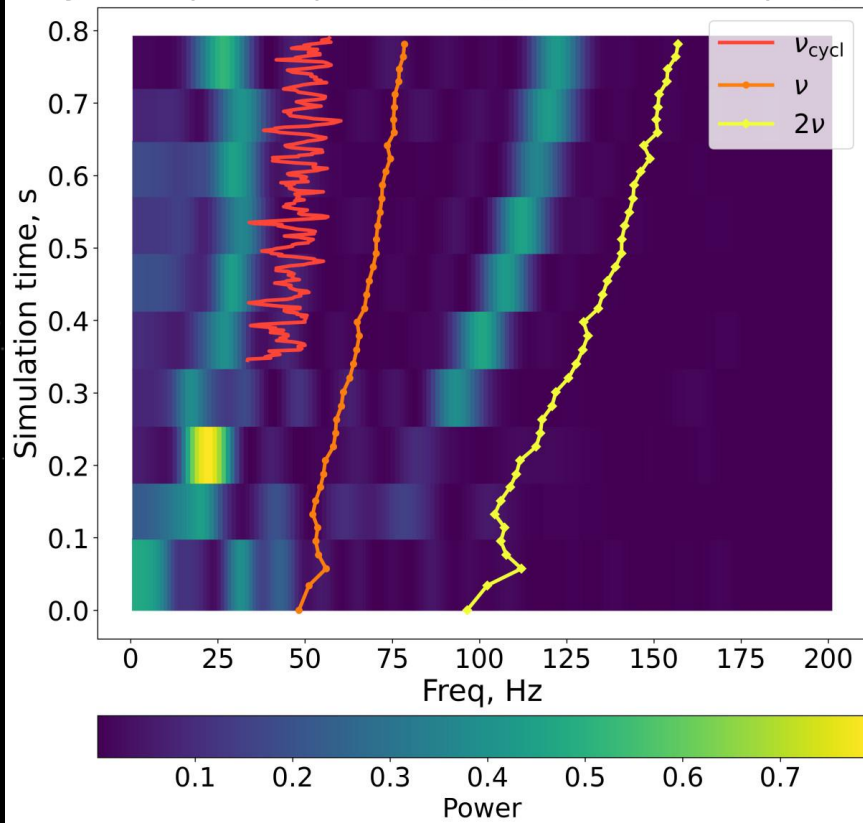
Dynamic power spectrum,  $\theta_{\text{obs}} = 45^\circ$



Dynamic power spectrum,  $\theta_{\text{obs}} = 0^\circ$  (North pole)

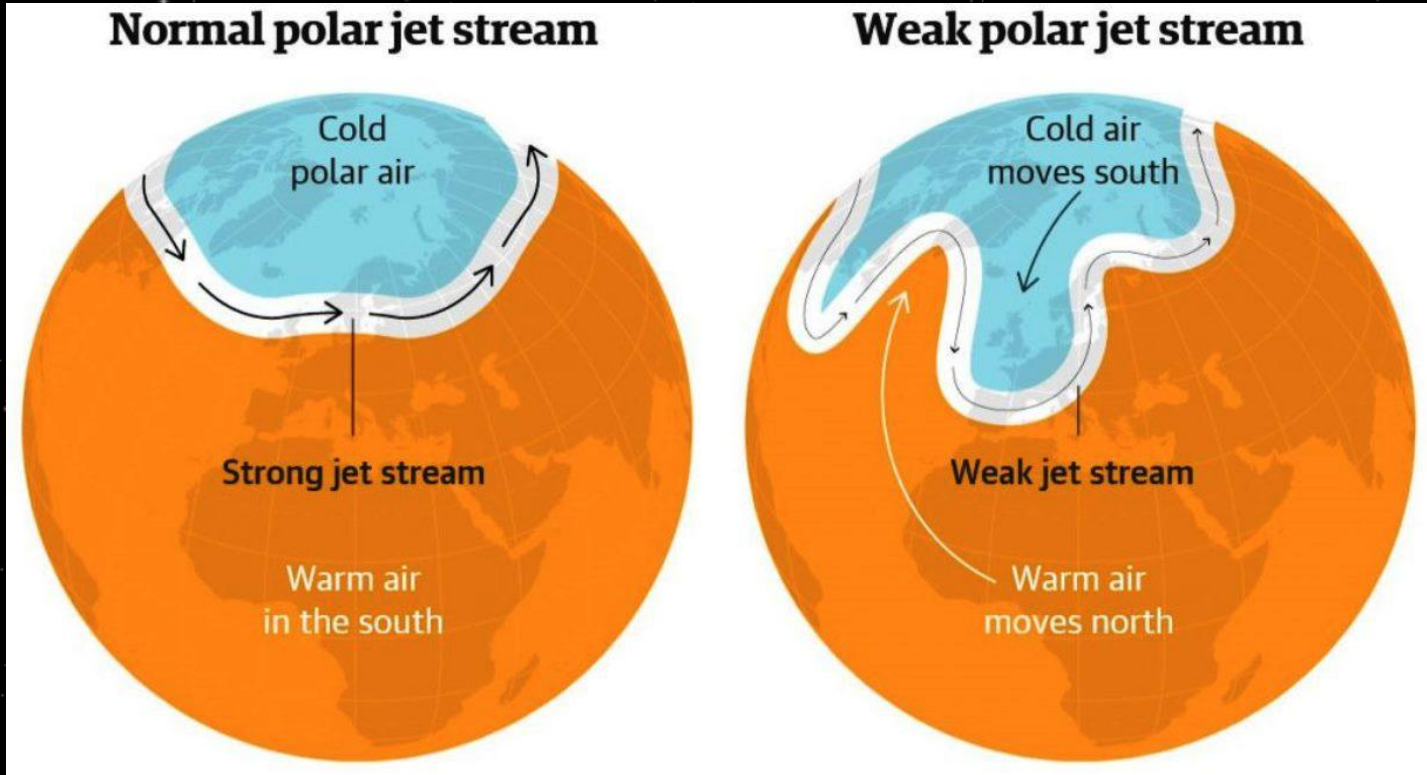


Dynamic power spectrum,  $\theta_{\text{obs}} = 180^\circ$  (South pole)



# Волны Россби

Изгибы высотных ветров



# Аккреционные тесты. Аккреция с трением IS.

$$\begin{cases} \dot{\Sigma} = \dot{\Sigma}_{\text{acc}} + \dot{\Sigma}_{\text{fall}}, \\ \dot{\mathbf{l}} = \dot{\mathbf{l}}_{\text{acc}} + \dot{\mathbf{l}}_{\text{fall}} + \dot{\mathbf{l}}_{\text{fric}}, \\ \dot{E} = \dot{E}_{\text{acc}} + \dot{E}_{\text{fall}} + \dot{E}_{\text{rad}} + \dot{E}_{\text{spin-up}} \end{cases}$$

Другое выпадение + потери на трение аналогичные таковым в (Inogamov, Sunyaev, 1999)

$$\mathbf{w}_r = -\alpha\rho|\mathbf{v} - \mathbf{v}_0|(\mathbf{v} - \mathbf{v}_0)$$

$$\dot{\mathbf{l}}_{\text{fric}} = \mathbf{r} \times \mathbf{w}_r$$

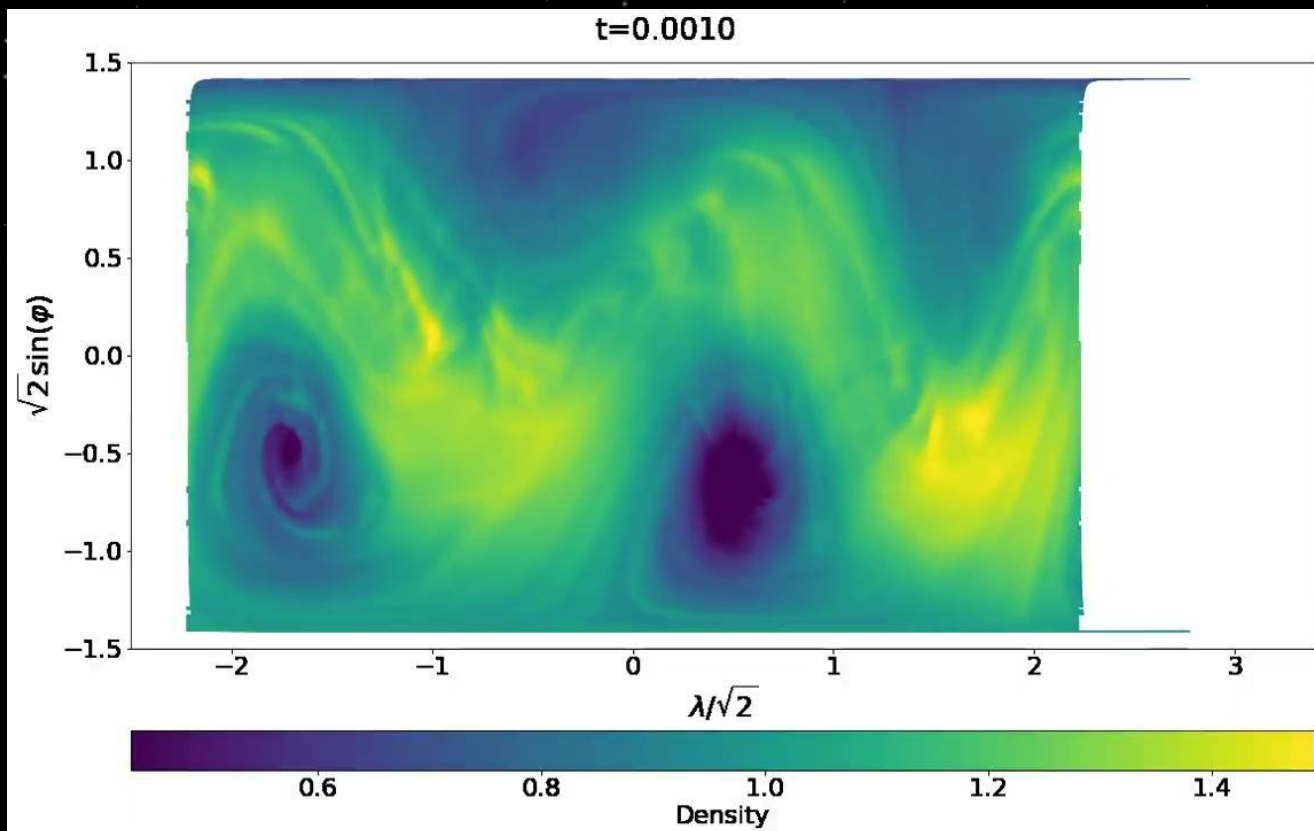
$$\dot{E}_{\text{spin-up}} = -\mathbf{w}_r \cdot \mathbf{v}_0 = \alpha\rho|\mathbf{v} - \mathbf{v}_0|(\mathbf{v} \cdot \mathbf{v}_0 - v_0^2)$$

$$\dot{\Sigma}_{\text{fall}} = -\alpha\rho|\mathbf{v} - \mathbf{v}_0|$$

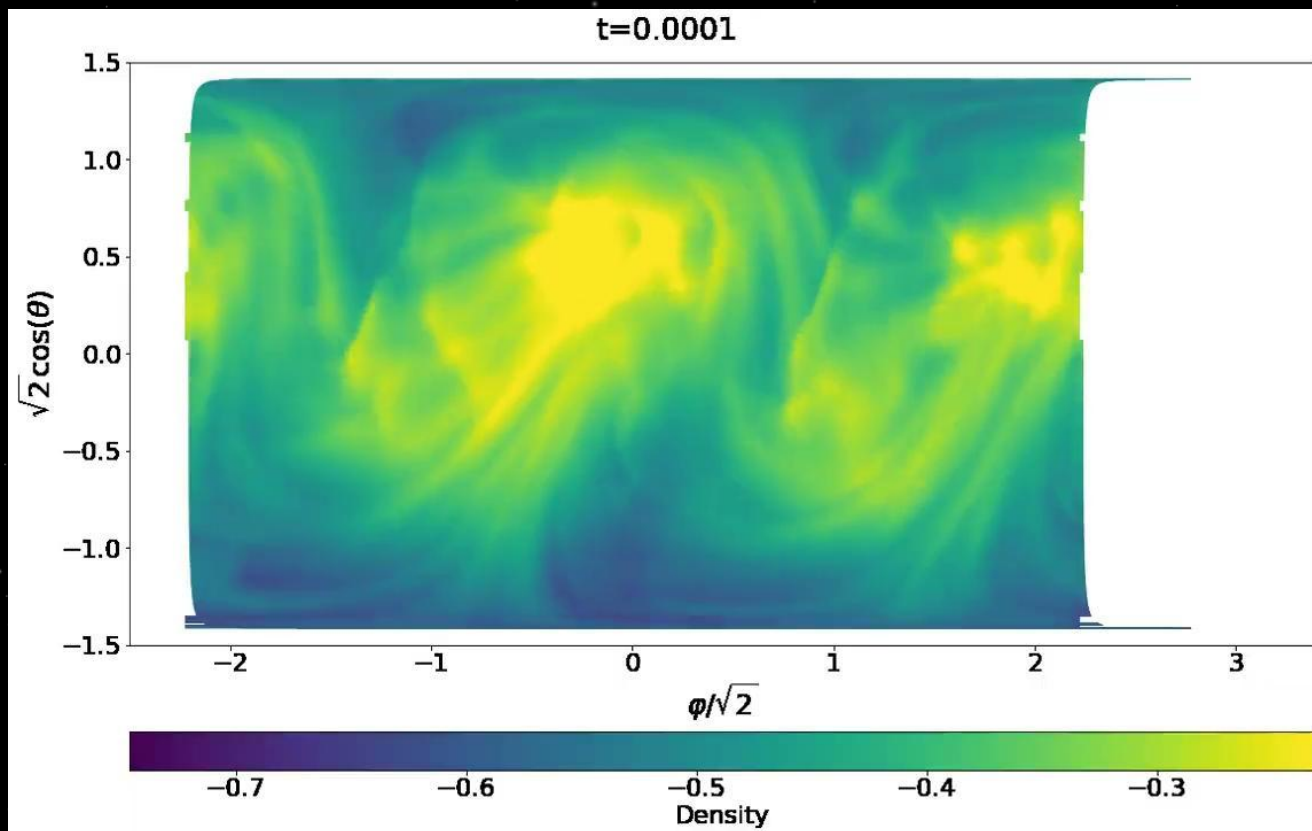
$$\dot{E}_{\text{fall}} = \dot{\Sigma}_{\text{fall}}(E + \Pi) / \Sigma$$

$$\dot{\mathbf{l}}_{\text{fall}} = \dot{\Sigma}_{\text{fall}}\mathbf{l} / \Sigma$$

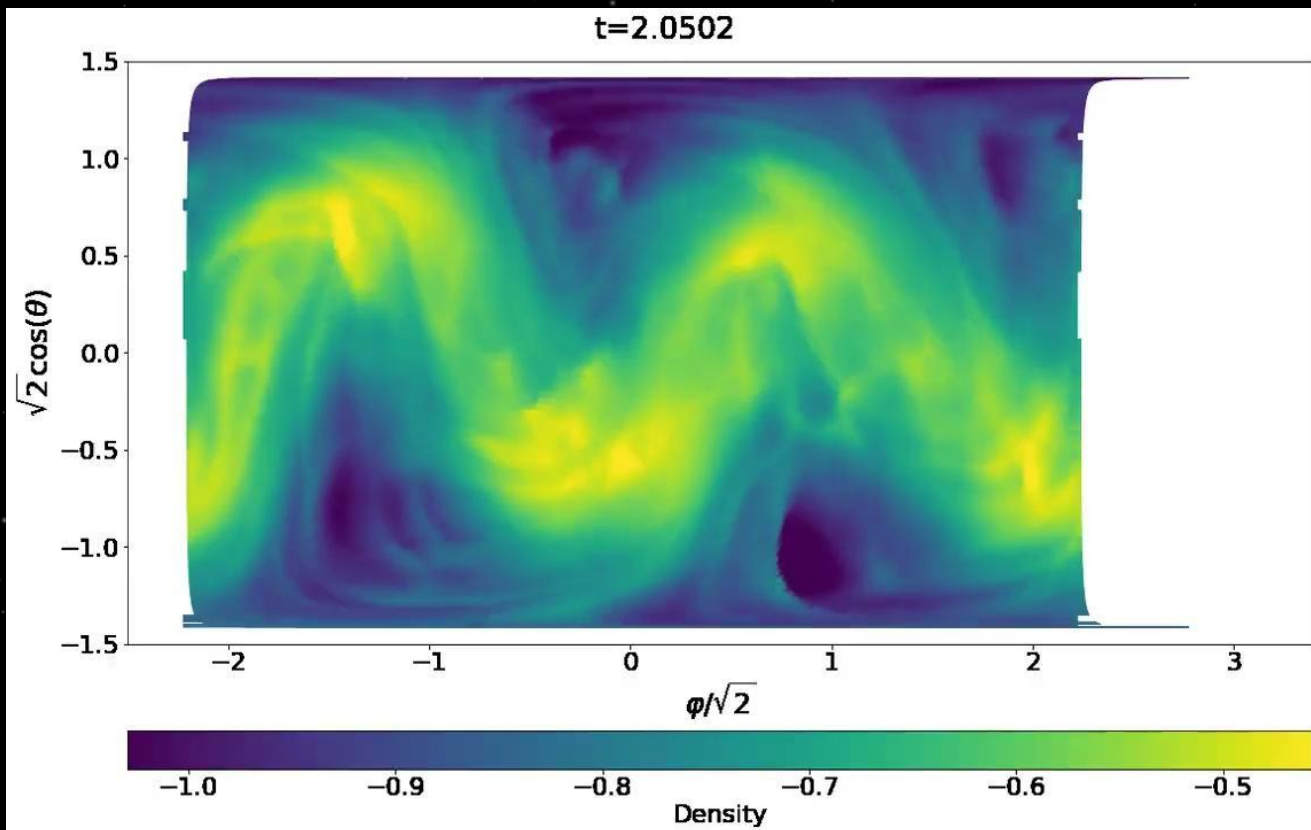
# Симуляции с аккрецией и трением.



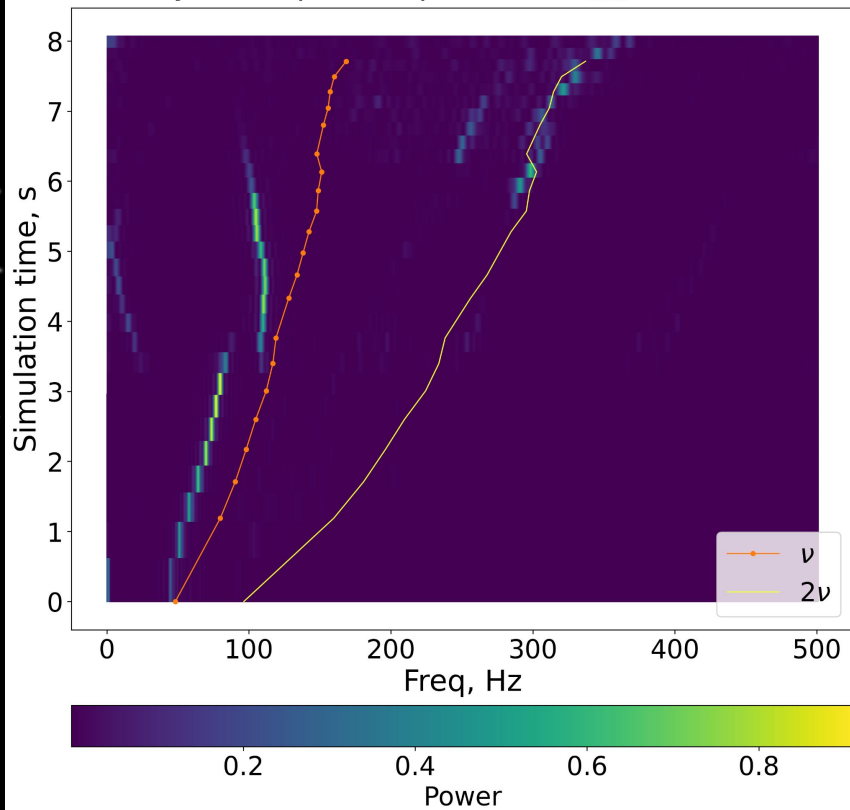
# Часть 2, с $t=4.0$ s



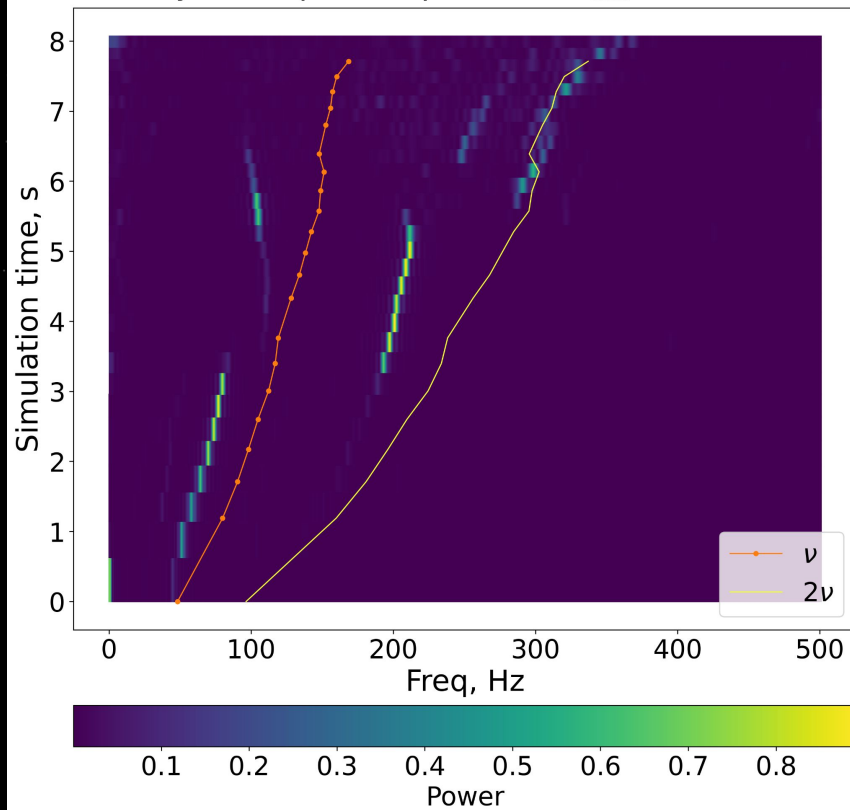
# Часть 3, с $t=6$ s



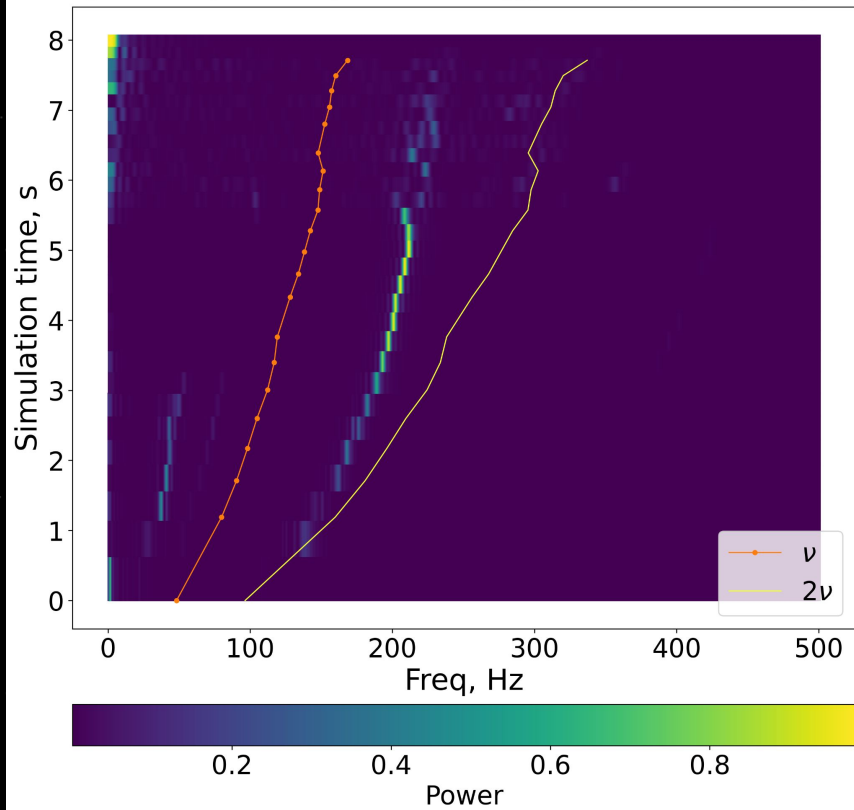
Dynamic power spectrum,  $\theta_{\text{obs}} = 90^\circ$



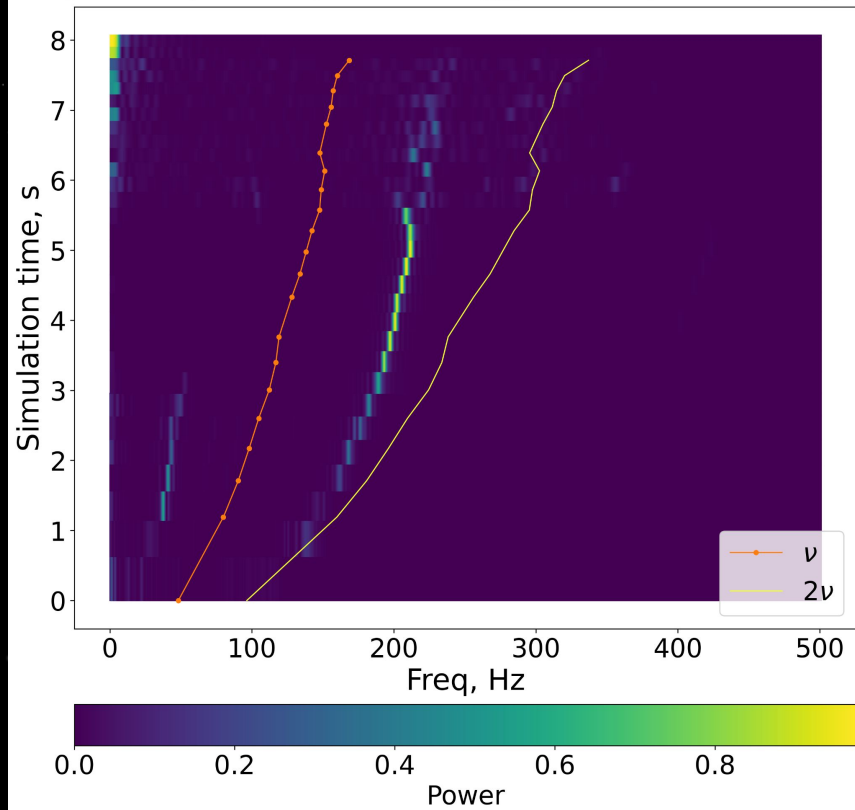
Dynamic power spectrum,  $\theta_{\text{obs}} = 45^\circ$

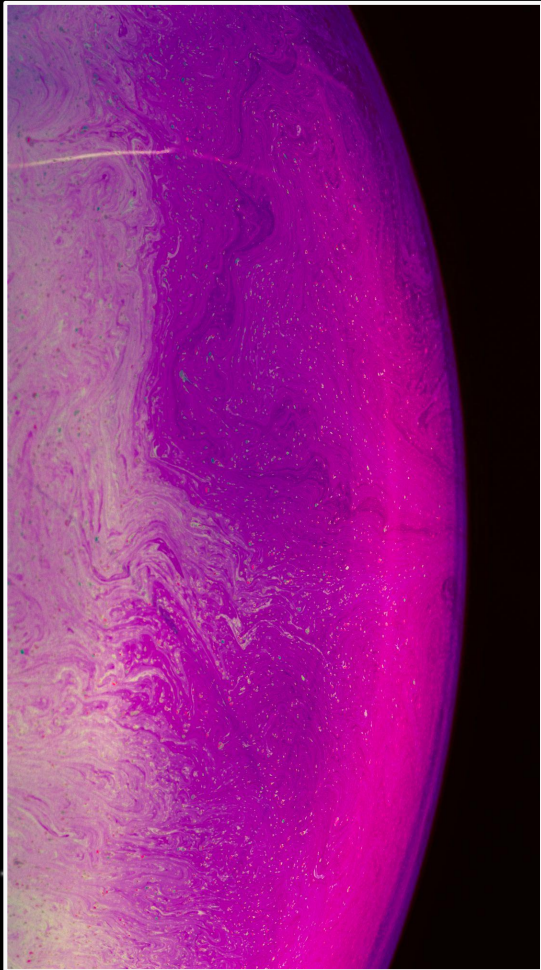


Dynamic power spectrum,  $\theta_{\text{obs}} = 0^\circ$  (North pole)



Dynamic power spectrum,  $\theta_{\text{obs}} = 180^\circ$  (South pole)





# 04

# Заключение

Планы и потенциал применения.

# Заключение

- Улучшения физики и длинные симуляции
- Сравнение результатов
- Релятивистские поправки и ray tracing
- Улучшение производительности, параллелизация (MPI или CUDA)
- Представление результатов
- 3D версия алгоритма
- Статическое или адаптивное уточнение сетки

Перспективные задачи:

- Моделирование атмосфер
- Потенциальные объекты: переменные звёзды, белые карлики, экзопланеты.

# Спасибо за внимание

**Задавайте вопросы**

<https://github.com/TURBOLOSE/MUSCL-scheme-on-spherical-mesh-WIP>



[arXiv:2412.00867](https://arxiv.org/abs/2412.00867)

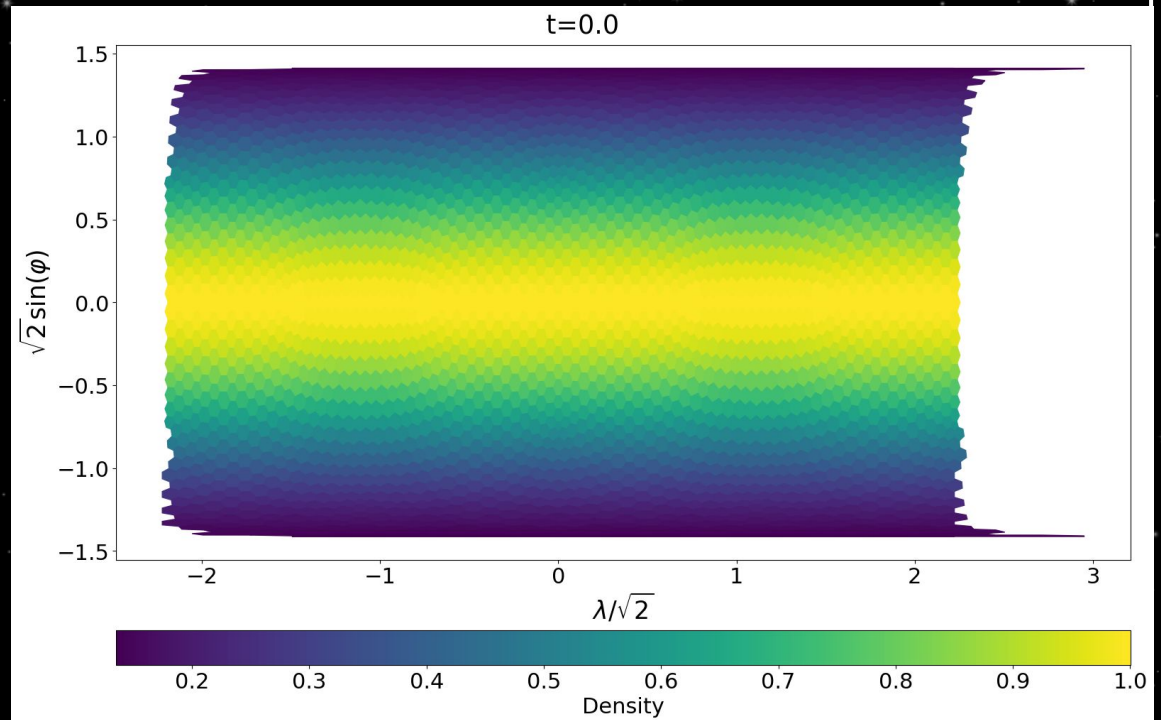


- Abolmasov, P., Näätäjä, J., & Poutanen, J. 2020, A&A, 638, A142
- Bahramian, A. & Degenaar, N. 2023, in Handbook of X-ray and Gamma-ray Astrophysics, 120
- Bransgrove, A., Levin, Y., & Beloborodov, A. 2018, MNRAS, 473, 2771
- Chen, S., Lin, B., Li, Y., & Yan, C. 2020, SIAM Journal on Scientific Computing, 42, B921
- Gilfanov, M., Revnivtsev, M., & Molkov, S. 2003, A&A, 410, 217
- Ingram, A. R. & Motta, S. E. 2019, New A Rev., 85, 101524
- Inogamov, N. A. & Sunyaev, R. A. 1999, Astronomy Letters, 25, 269
- Inogamov, N. A. & Sunyaev, R. A. 2010, Astronomy Letters, 36, 848
- Landau, L. D. & Lifshitz, E. M. 1987, Fluid Mechanics
- Papaloizou, J. C. B. & Stanley, G. Q. G. 1986, MNRAS, 220, 593
- Payne, D. J. B. & Melatos, A. 2004, MNRAS, 351, 569
- Shakura, N. I. & Sunyaev, R. A. 1988, Advances in Space Research, 8, 135
- Shu, C.-W. 2020, Acta Numerica, 29, 701–762
- Sieger, D. 2021, Generating Meshes of a Sphere
- Suleimanov, V. & Poutanen, J. 2006, MNRAS, 369, 2036
- Touze, C. L., Murrone, A., & Guillard, H. 2015, Journal of Computational Physics, 284, 389
- van der Klis, M. 2000, ARA&A, 38, 717
- van Leer, B. 1979, Journal of Computational Physics, 32, 101
- Watts, A. L., Andersson, N., Beyer, H., & Schutz, B. F. 2003, MNRAS, 342, 1156

# Аналитический профиль изотермического твердотельного вращения

$$M = \Omega R/a$$

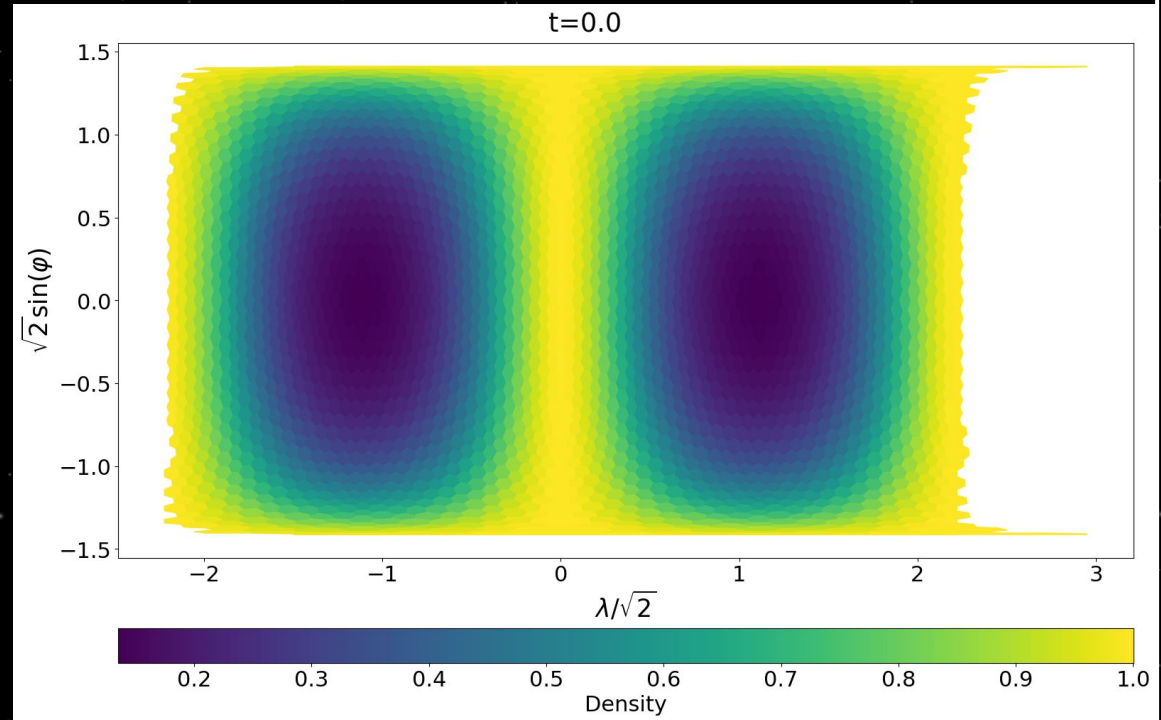
$$\rho = \rho_0 e^{-\frac{M^2}{2} \sin^2 \theta}.$$



# Аналитический профиль изотермического твёрдотельного вращения вокруг другой оси

$$M = \Omega R/a$$

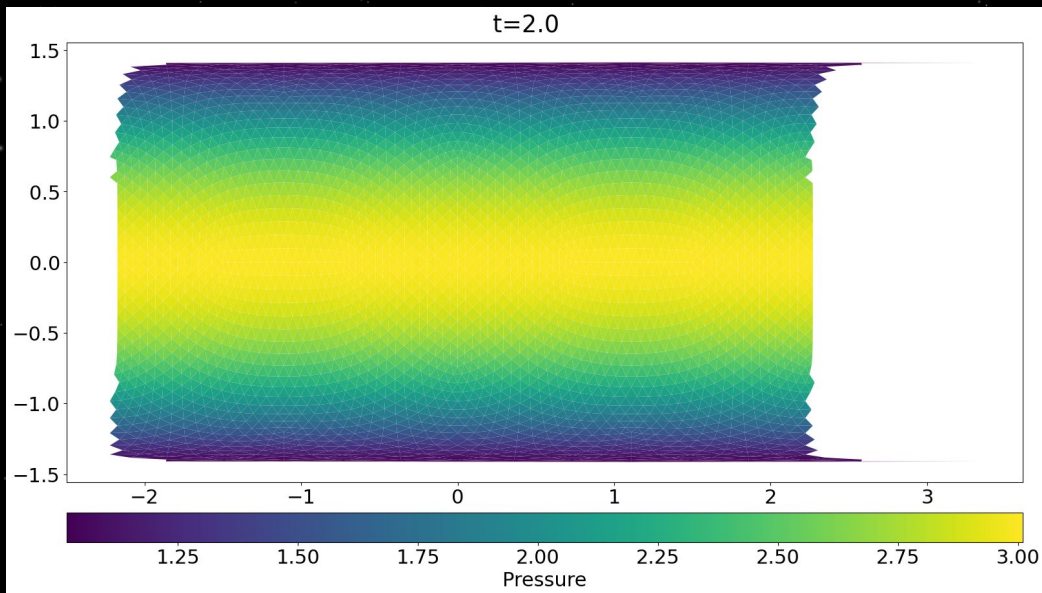
$$\rho = \rho_0 e^{-\frac{M^2}{2} \sin^2 \theta}.$$



# Адиабатическое решение с ПОСТОЯННОЙ ПЛОТНОСТЬЮ

$$\partial_{\theta} P = -\Omega^2 R \rho \sin \theta \cos \theta$$

$$P = P_{poles} + \frac{\Omega^2 R^2 \rho}{2} \sin^2 \theta$$



# Энтропийные движения

